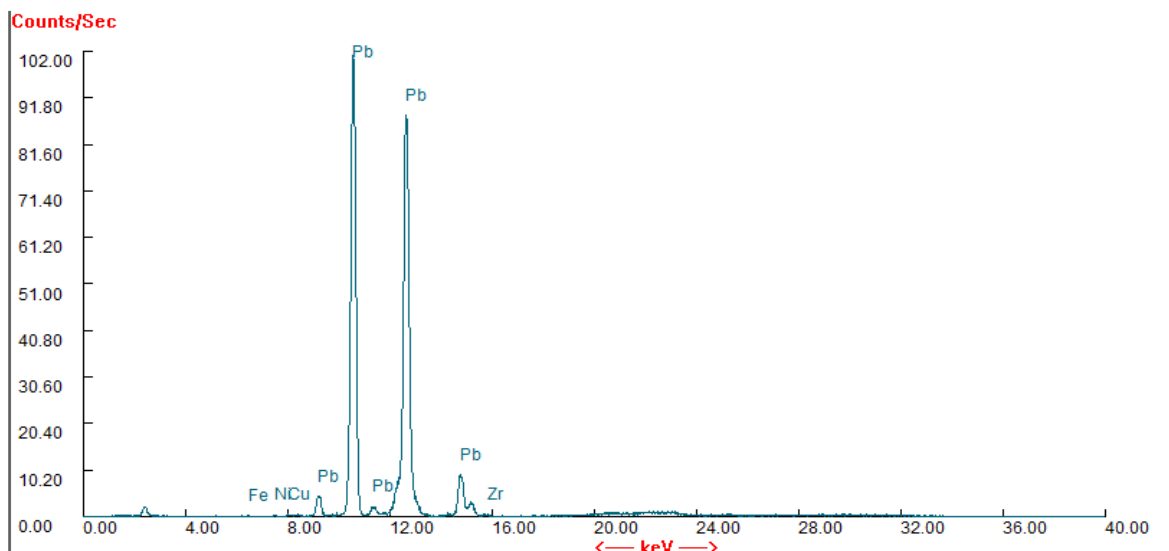
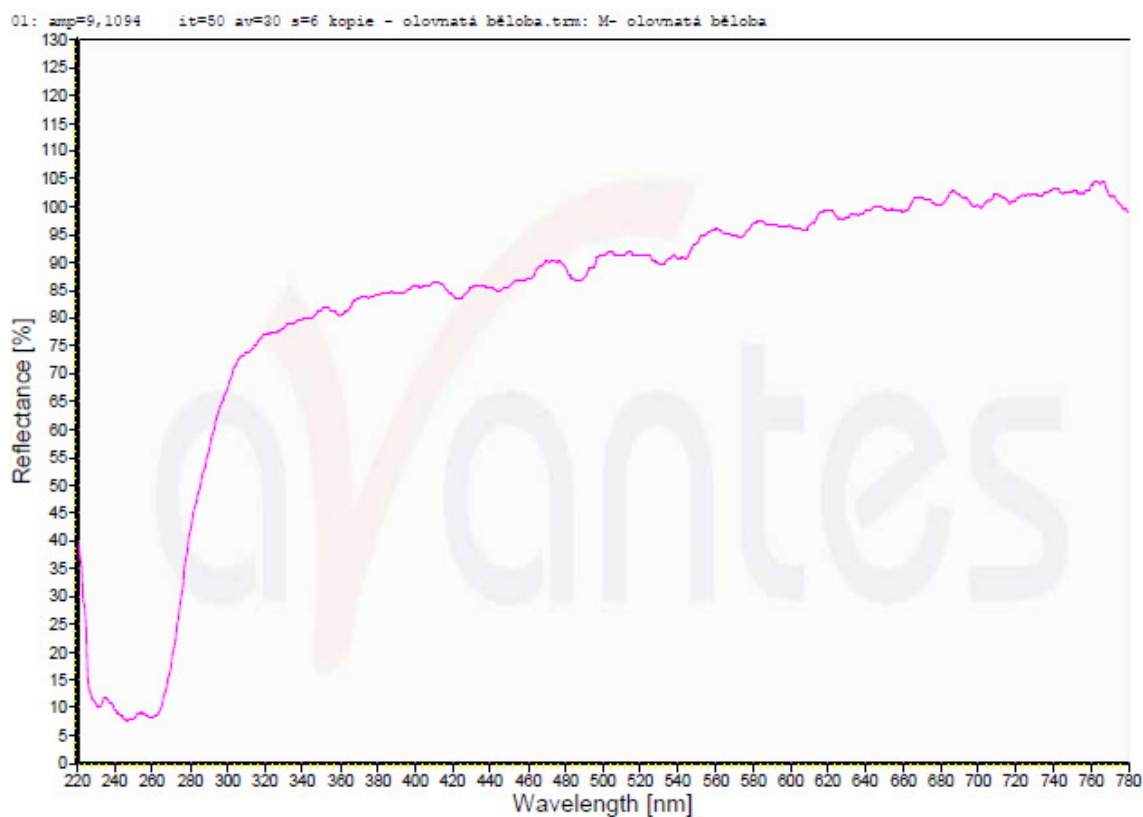


Příloha 4_Atlas spekter standardů nejběžnějších pigmentů a barviv středověkých iluminací české provenience

olovnatá běloba

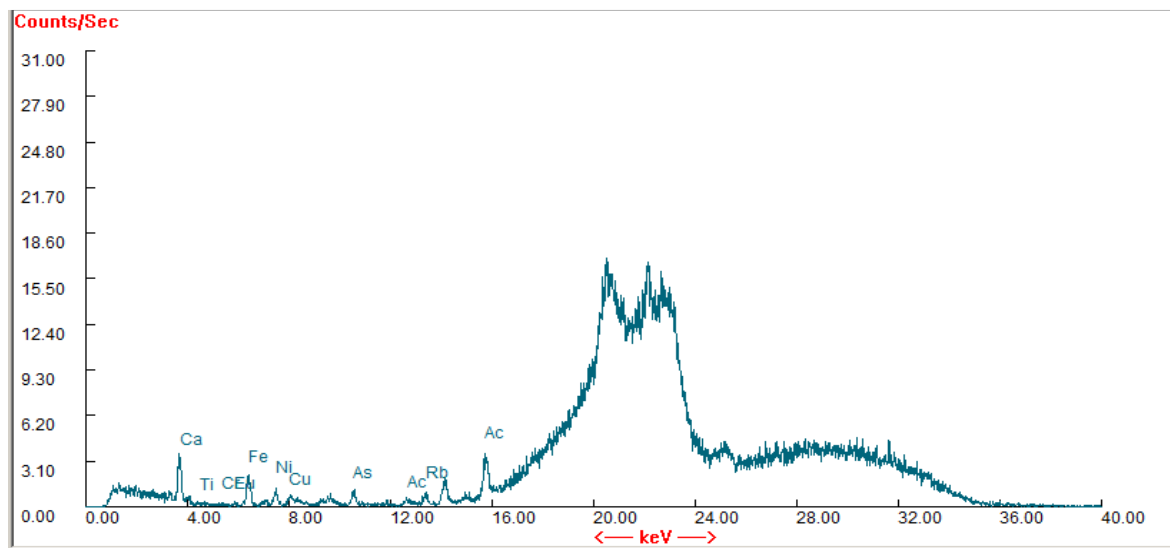


Obrázek 1 – XRF spektrum olovnaté běloby (jako majoritní prvek identifikováno Pb)

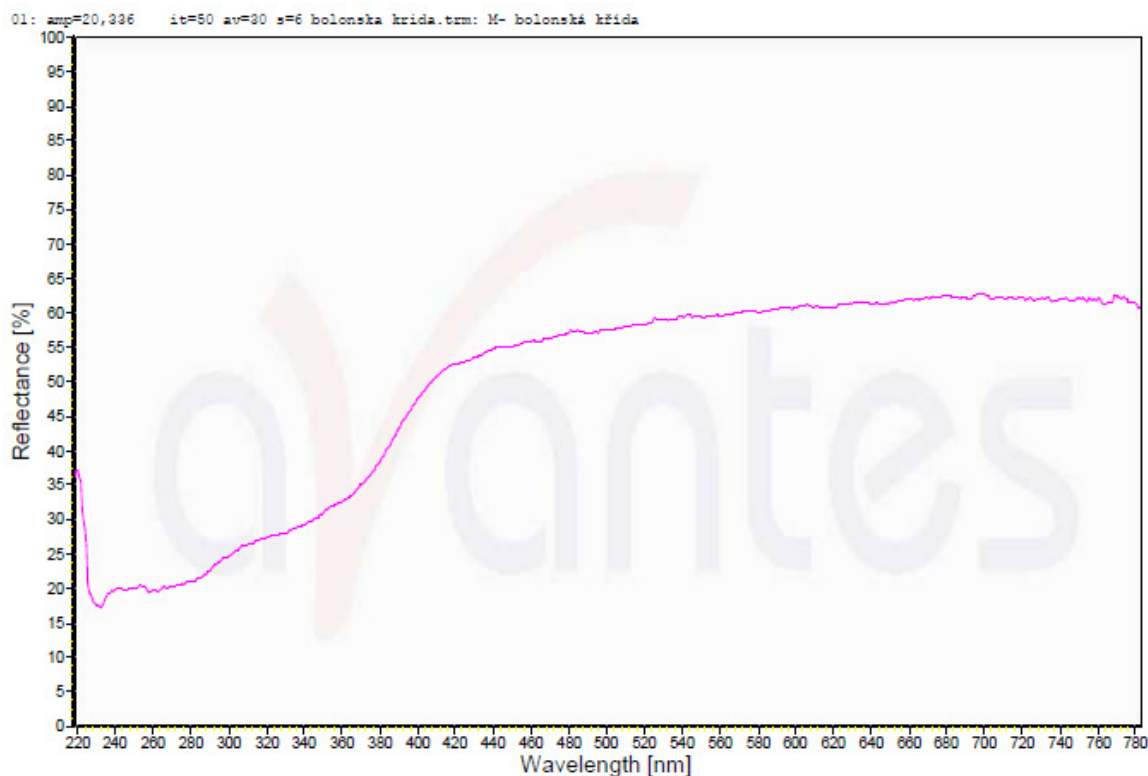


Obrázek 2 – UV/VIS spektrum olovnaté běloby (inflexní bod při 280 nm)

křída



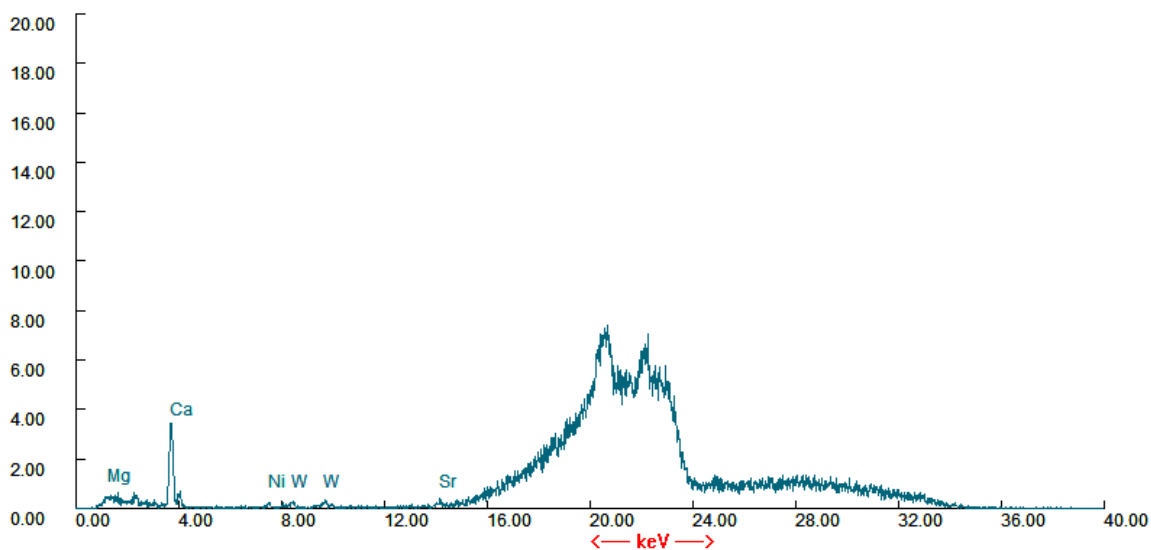
Obrázek 3 – XRF spektrum křída (identifikována pouze stopová množství prvků pod intenzitou rentgenky, identifikována přítomnost Ca)



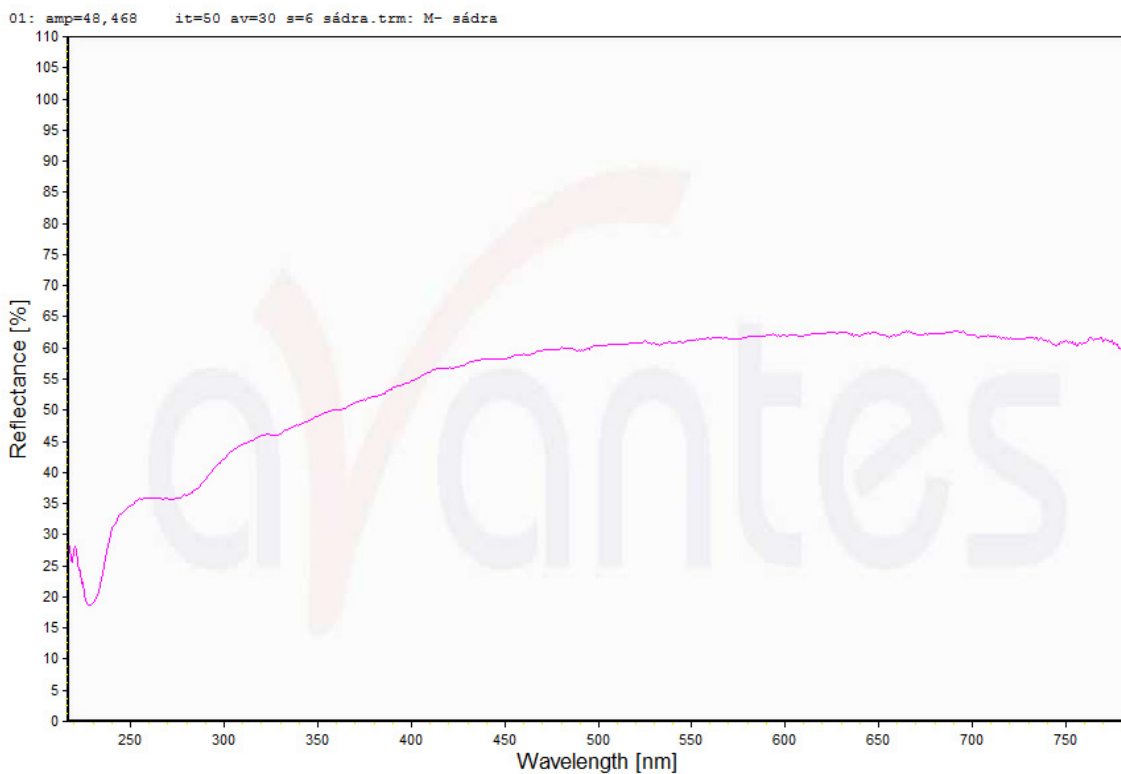
Obrázek 4 – UV/VIS spektrum křída (inflexní bod při 350 nm)

sádra

Counts/Sec

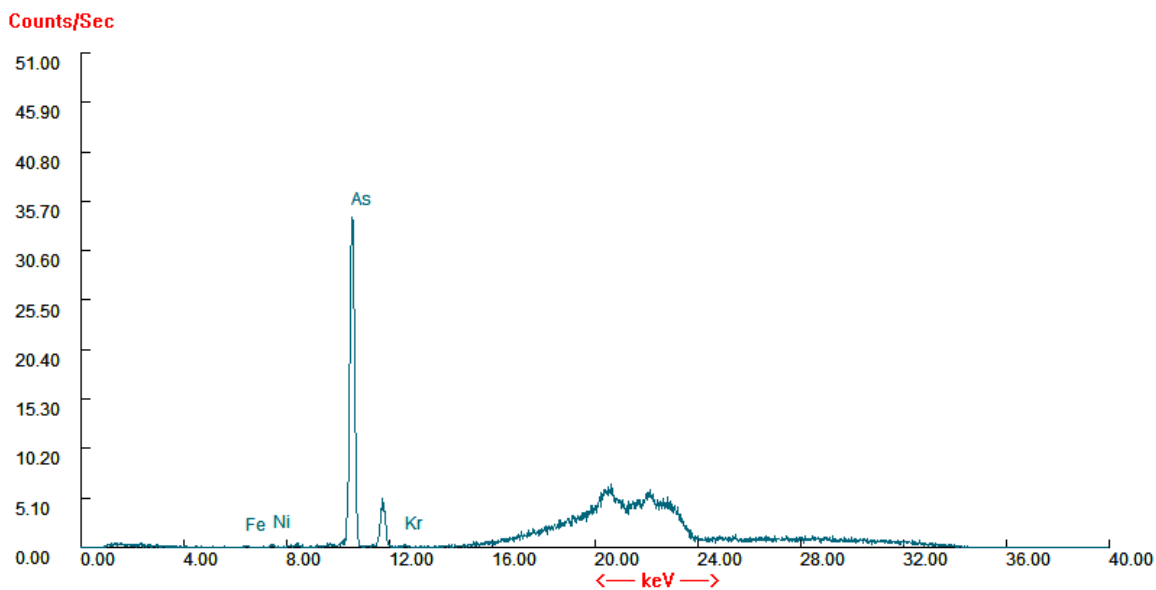


Obrázek 5 – XRF spektrum sádry (identifikována pouze stopová množství prvků pod intenzitou rentgenky, identifikována přítomnost Ca)

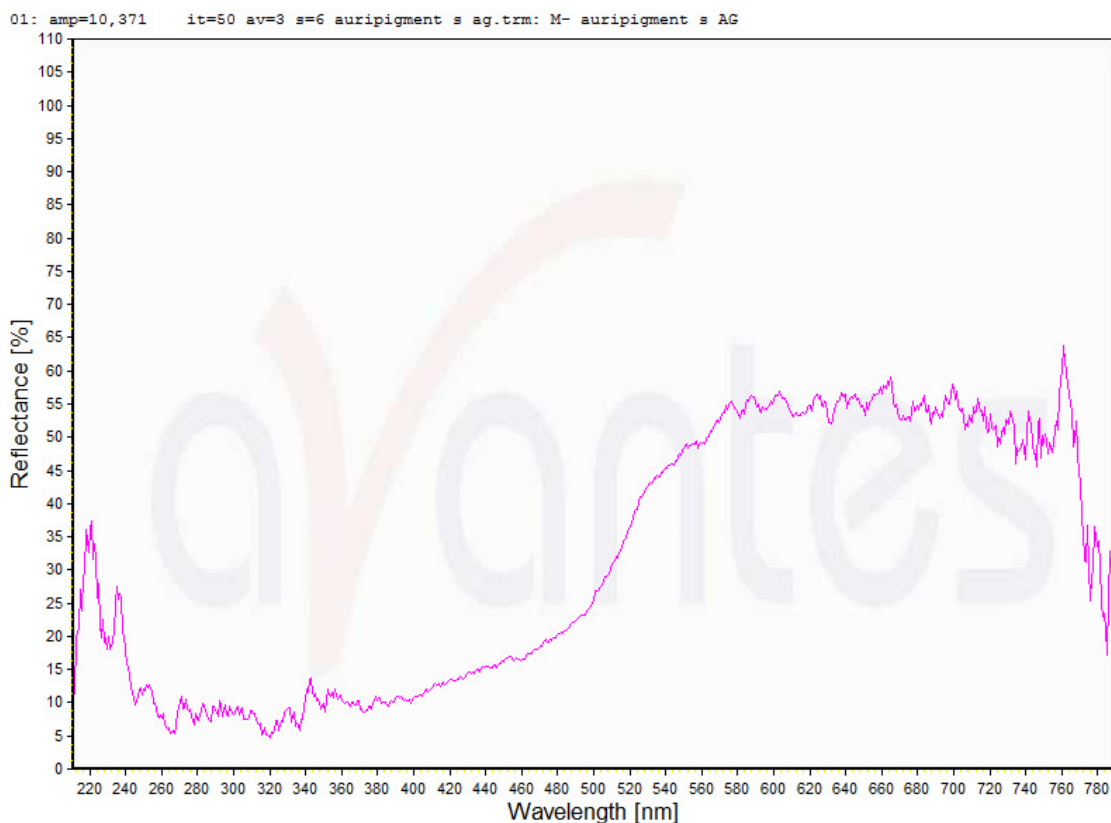


Obrázek 6 – UV-VIS spektrum sádry (inflexní bod při 240 nm)

auripigment

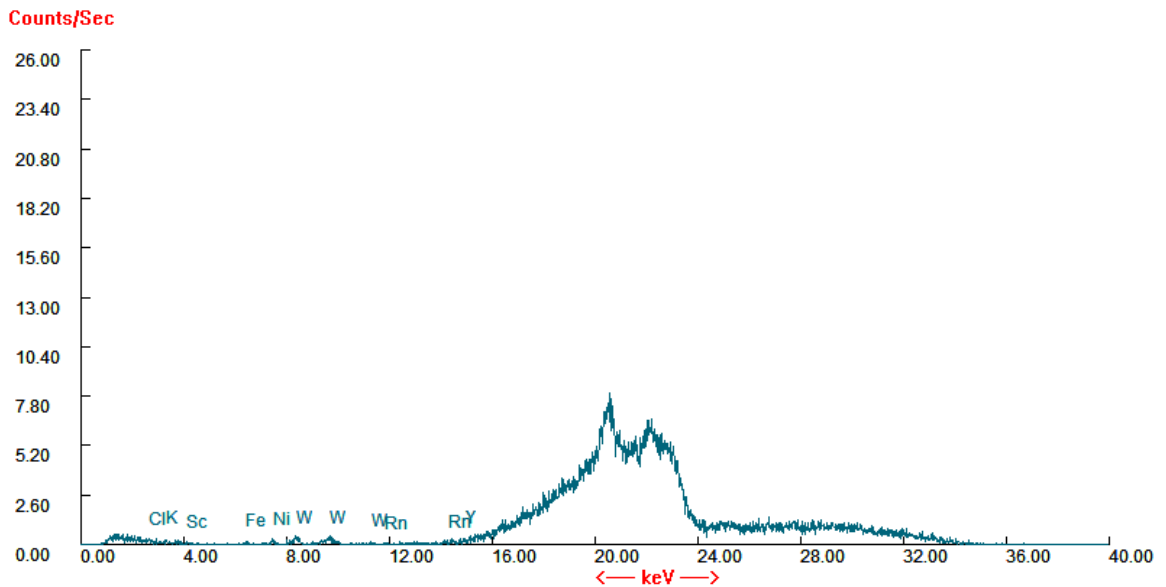


Obrázek 7 – XRF spektrum auripigmentu(jako majoritní prvek identifikována As)

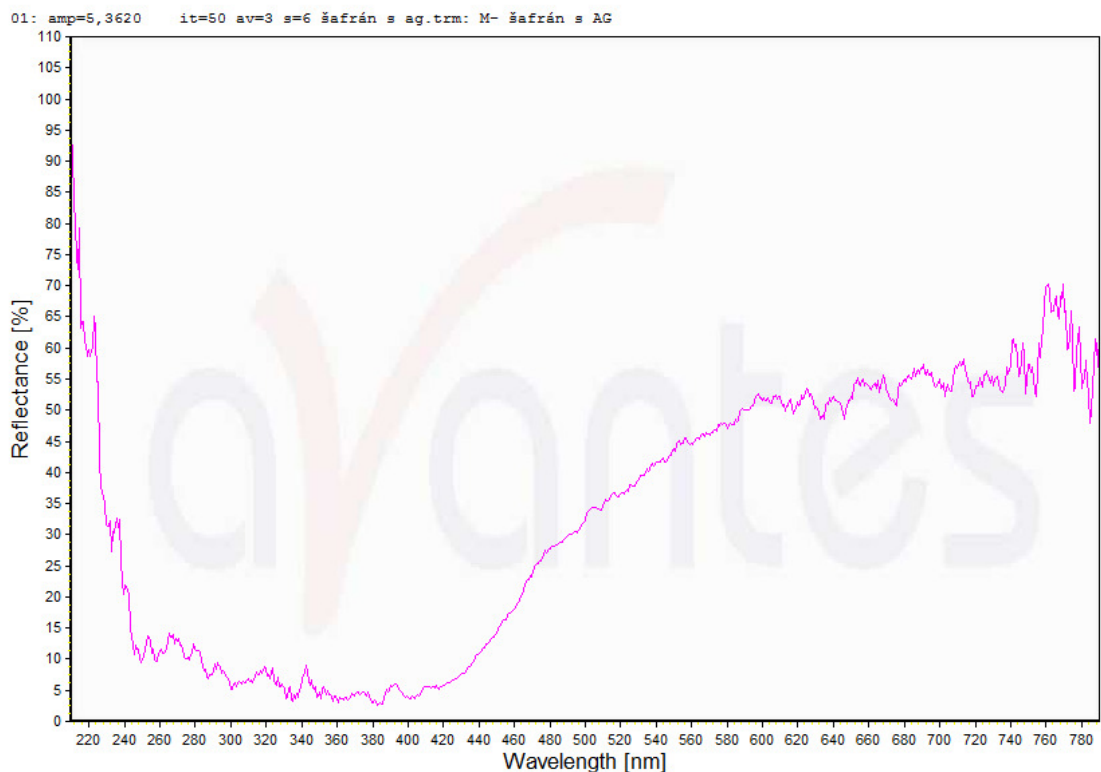


Obrázek 8 – UV-VIS spektrum auripigmentu (inflexní bod při 490 nm)

šafrán

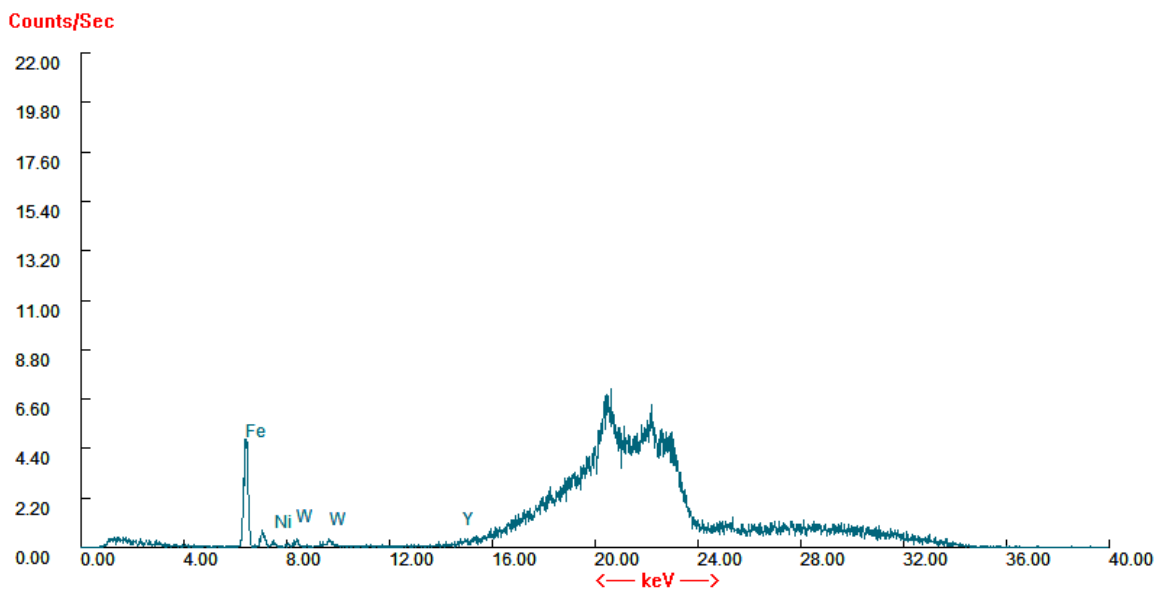


Obrázek 9 – XRF spektrum šafránu (identifikována pouze stopová množství prvků pod intenzitou rentgenky)

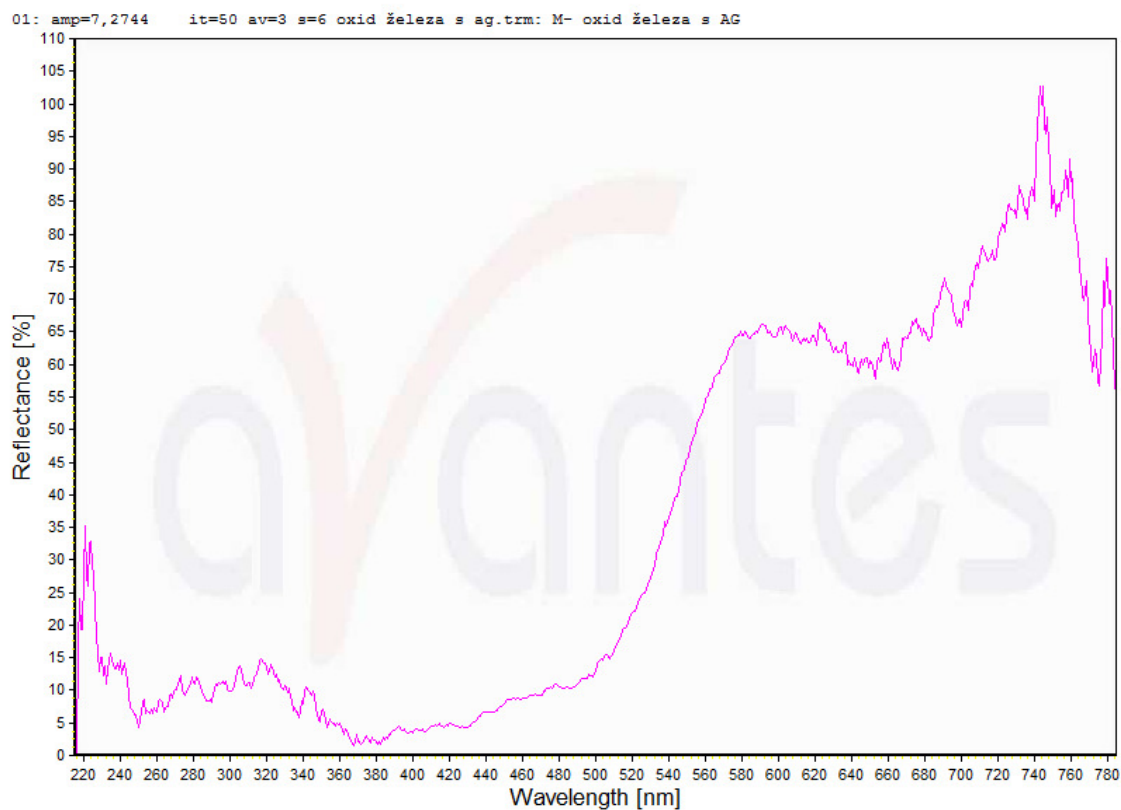


Obrázek 10 – UV-VIS spektrum šafránu (inflexní bod při 510 nm)

žlutý okr

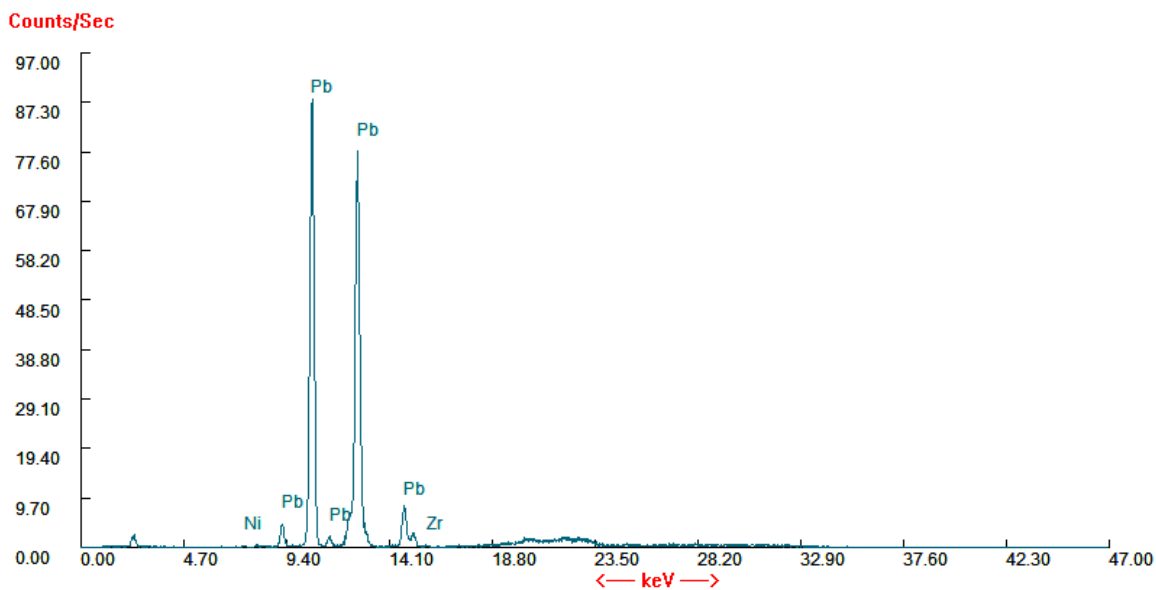


Obrázek 11 – XRF spektrum žlutého okru (identifikována pouze stopová množství prvků pod intenzitou rentgenky, identifikována přítomnost Fe)

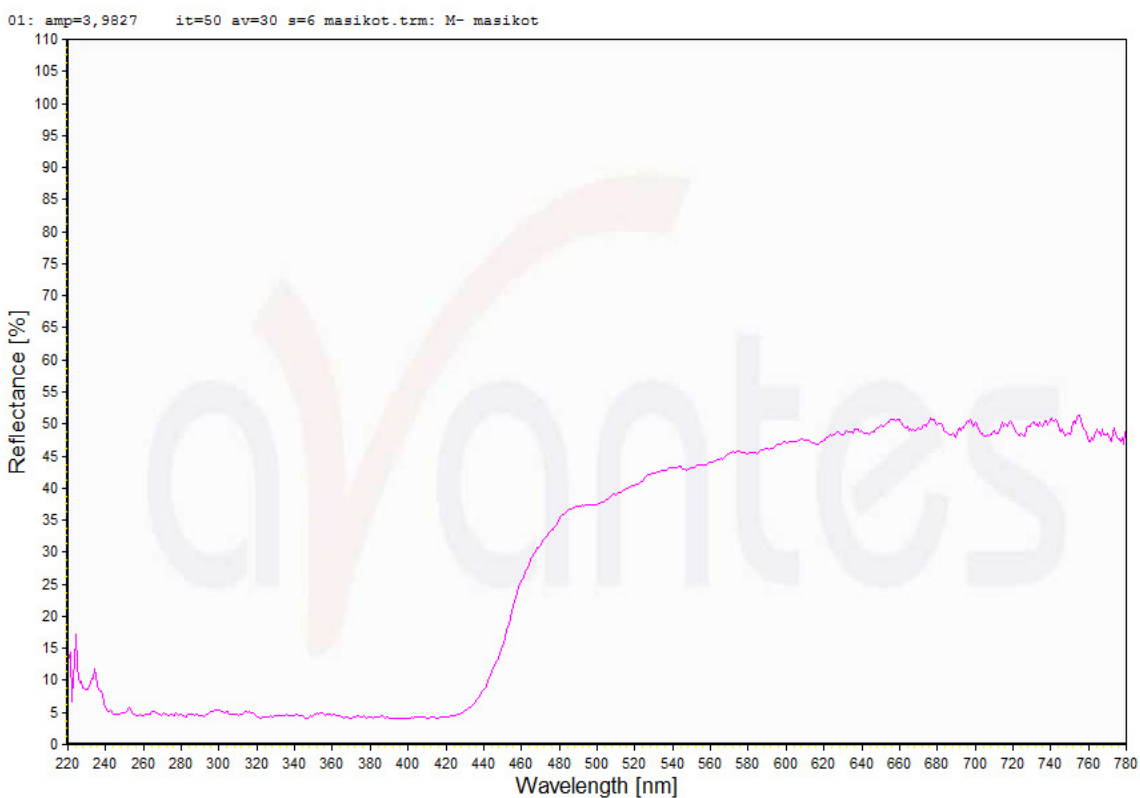


Obrázek 13 – UV-VIS spektrum žlutého okru (inflexní bod při 540 nm)

masikot

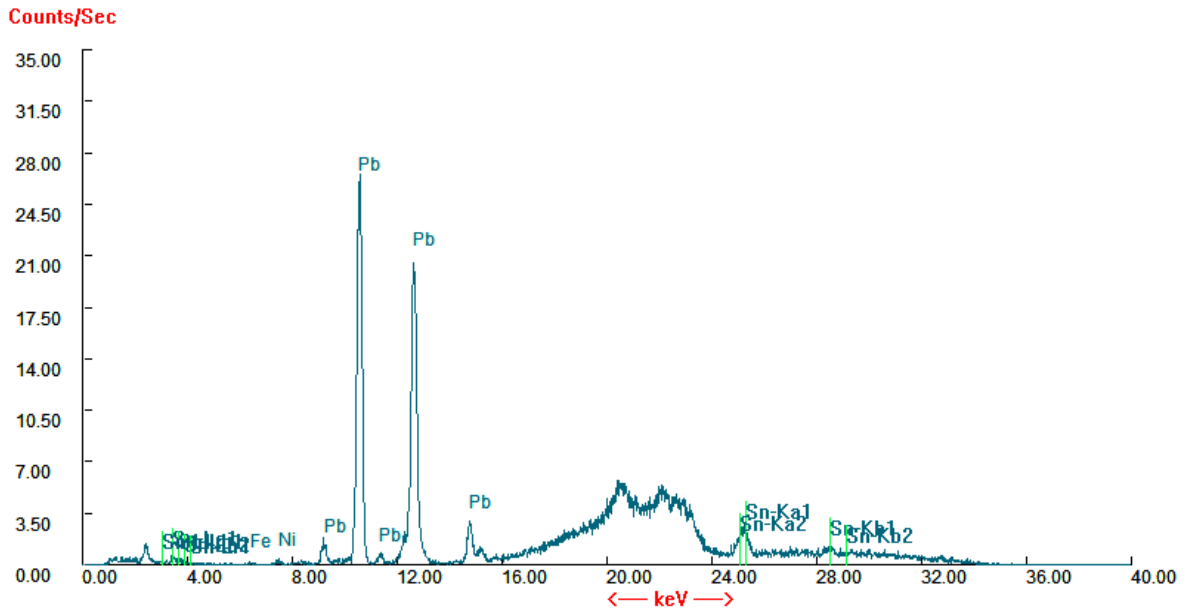


Obrázek 13 – XRF spektrum masikotu (jako majoritní prvek identifikováno Pb)

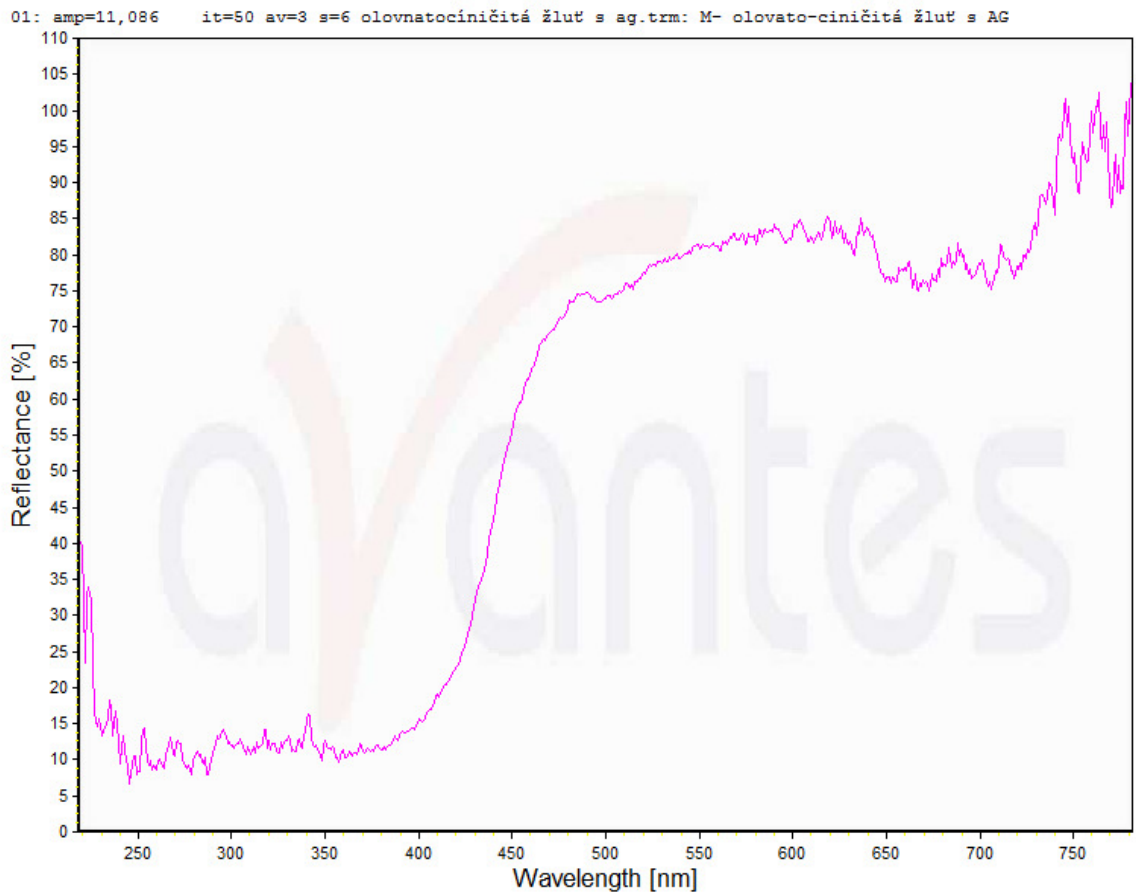


Obrázek 14 – UV-VIS spektrum masikotu (inflexní bod při 450 nm)

olovnatocínčitá žluť

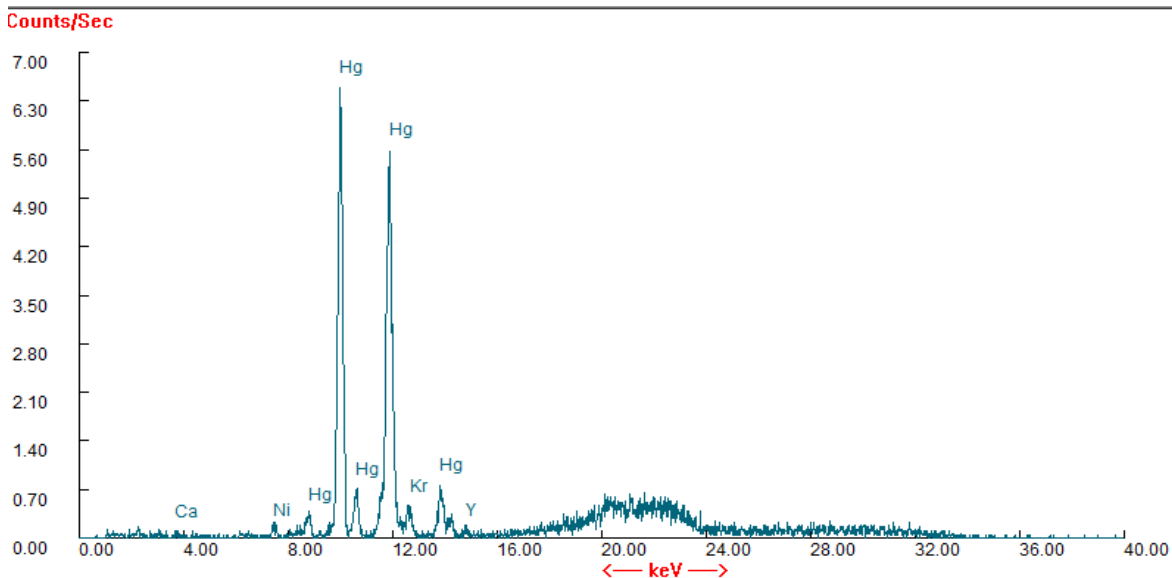


Obrázek 15 – XRF spektrum olovnatocínčité žluti (jako majoritní prvek identifikováno Pb, dále identifikována přítomnost Sn)

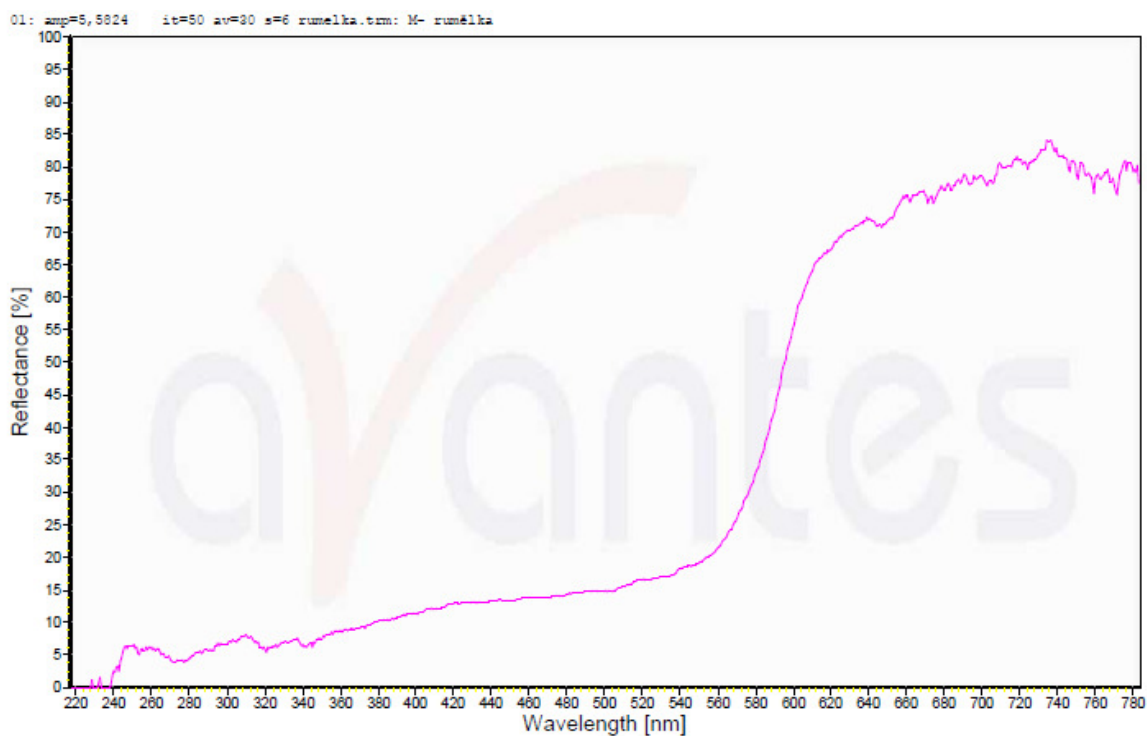


Obrázek 16 – UV-VIS spektrum olovnatocínčité žluti (inflexní bod při 450 nm)

rumělka

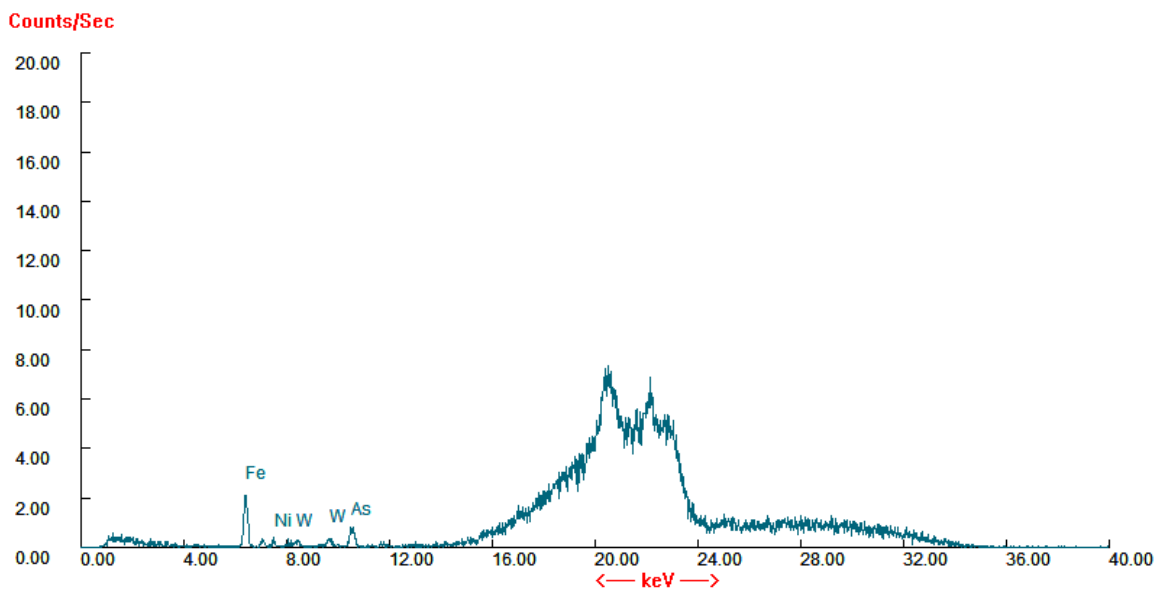


Obrázek 17 – XRF spektrum rumělky (jako majoritní prvek identifikována Hg)



Obrázek 18 – UV/VIS spektrum rumělky (inflexní bod při 600 nm)

pompejská červeně

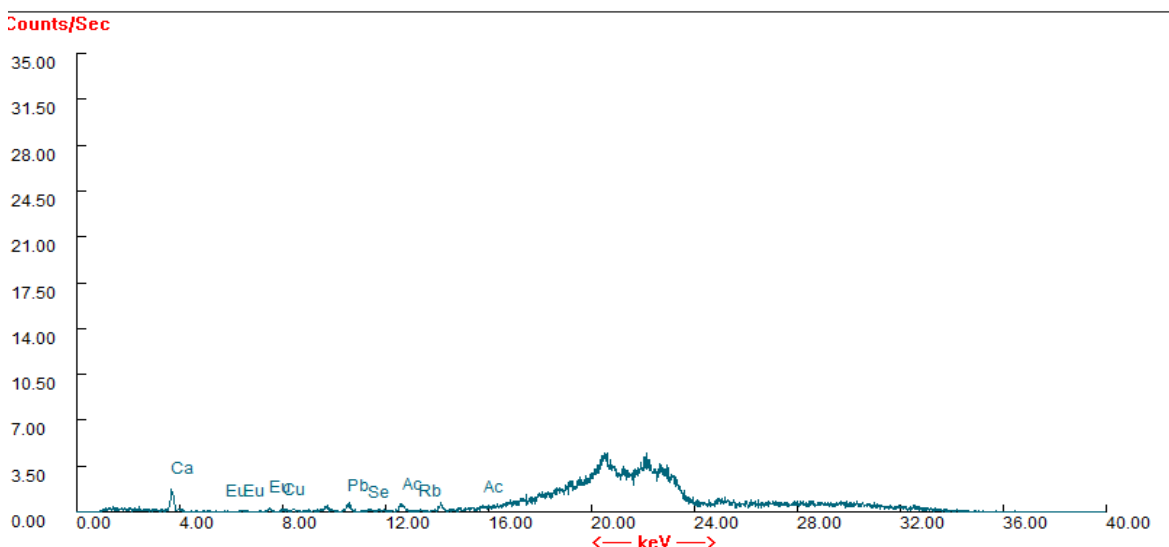


Obrázek 19 – XRF spektrum pompejské červeně (identifikována pouze stopová množství prvků pod intenzitou rentgenky, identifikována přítomnost Fe)

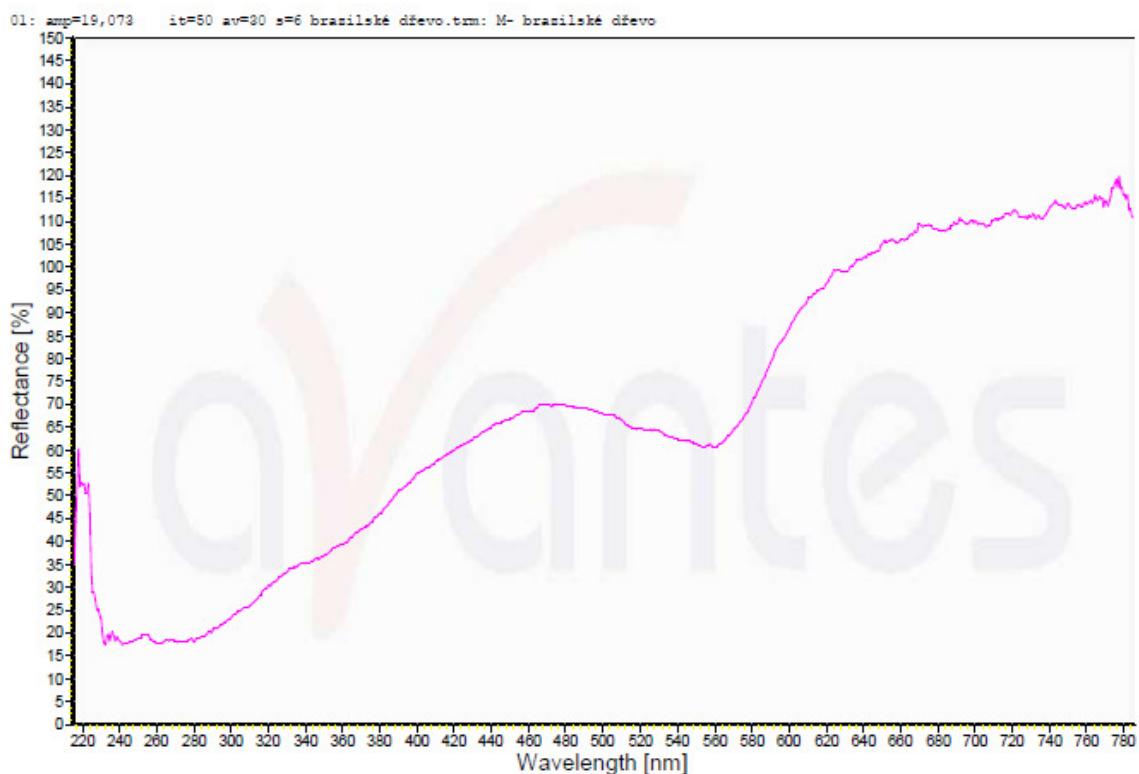


Obrázek 40 – UV-VIS spektrum pompejské červeně (inflexní bod při 650 nm)

brazilské dřevo

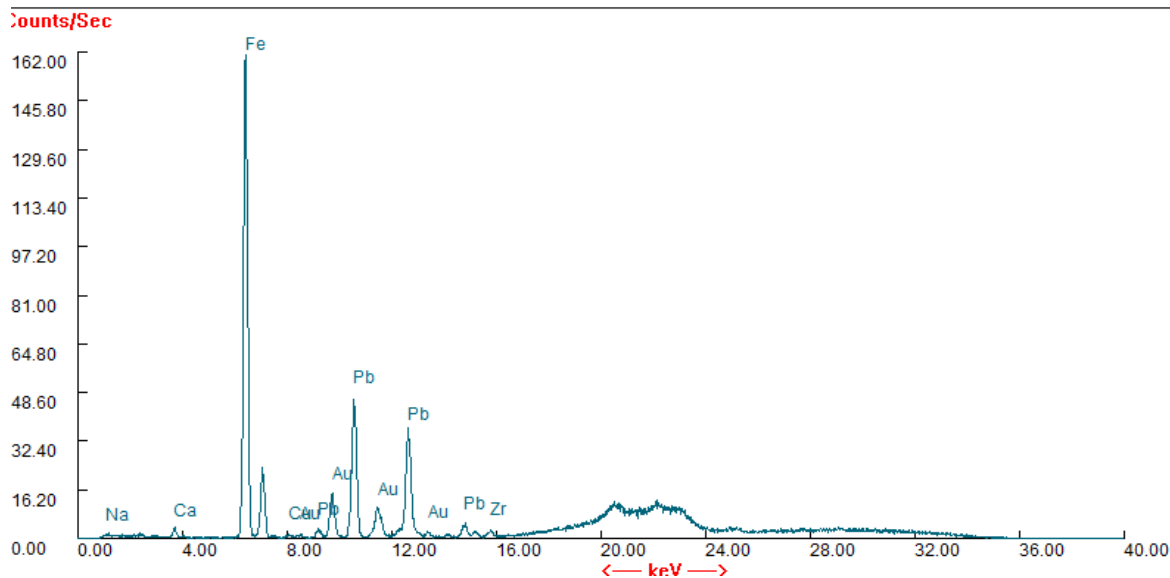


Obrázek 21 – XRF spektrum brazilského dřeva (identifikována pouze stopová množství prvků pod intenzitou rentgenky)

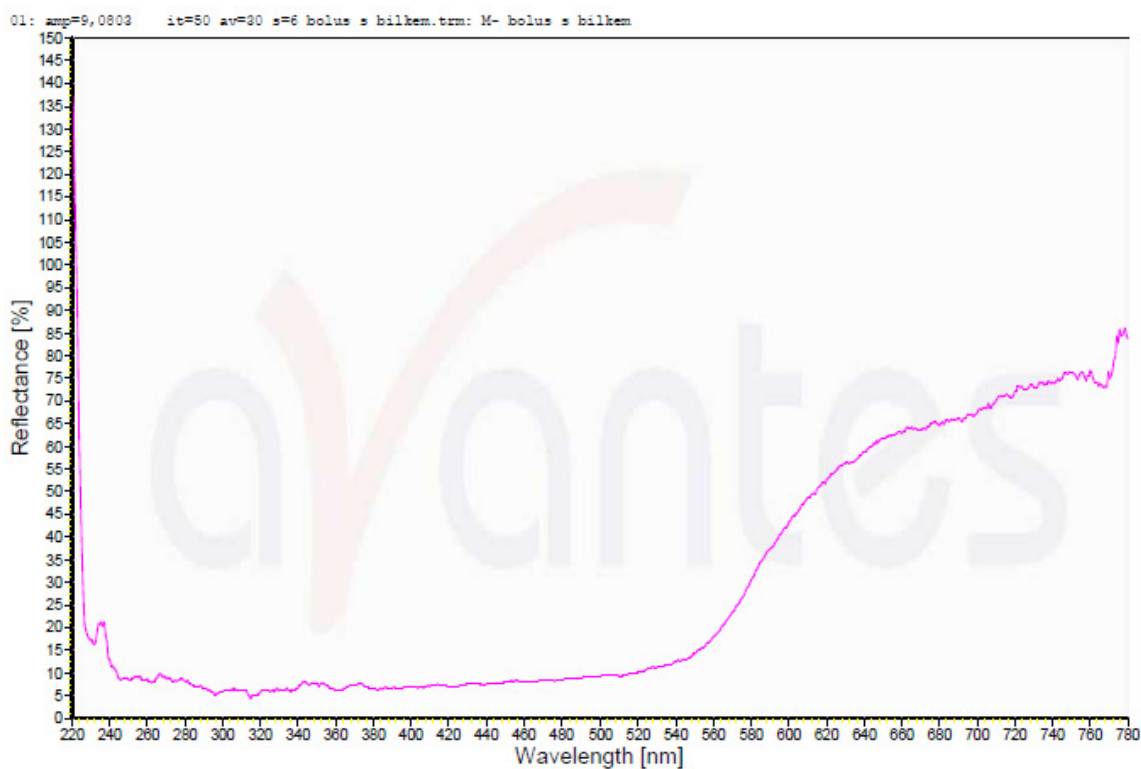


Obrázek 22 – UV/VIS spektrum brazilské dřeva (maximum1 při 460 nm, inflexní bod při 610 nm)

bolus

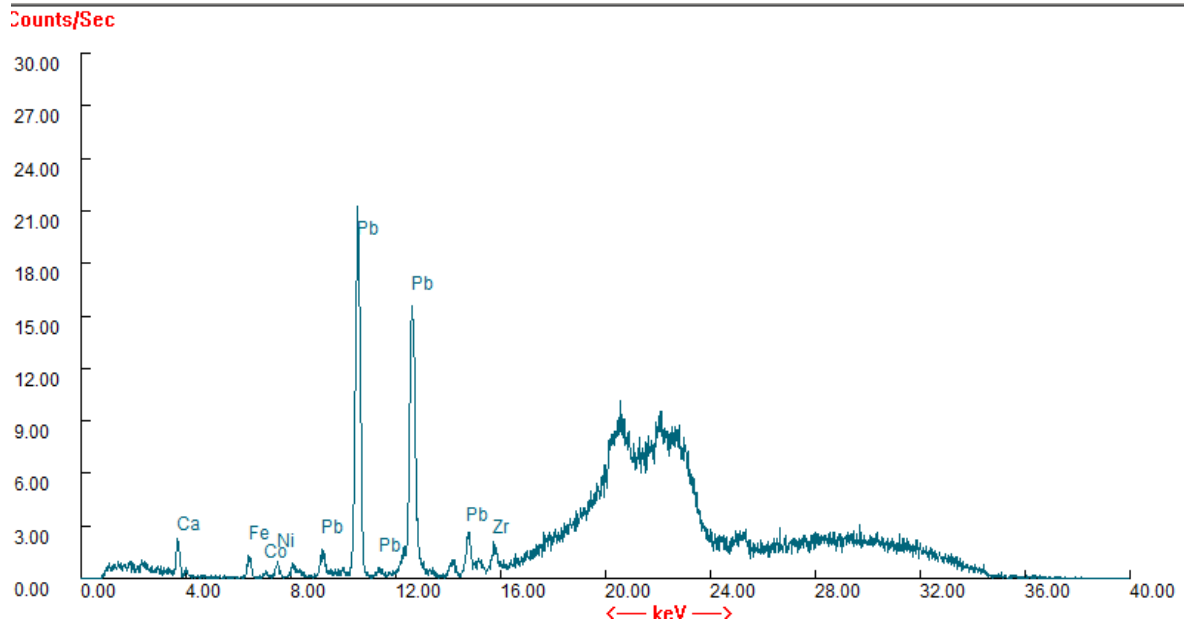


Obrázek 23 – XRF spektrum červeného bolusu (jako majoritní prvek identifikováno Fe)

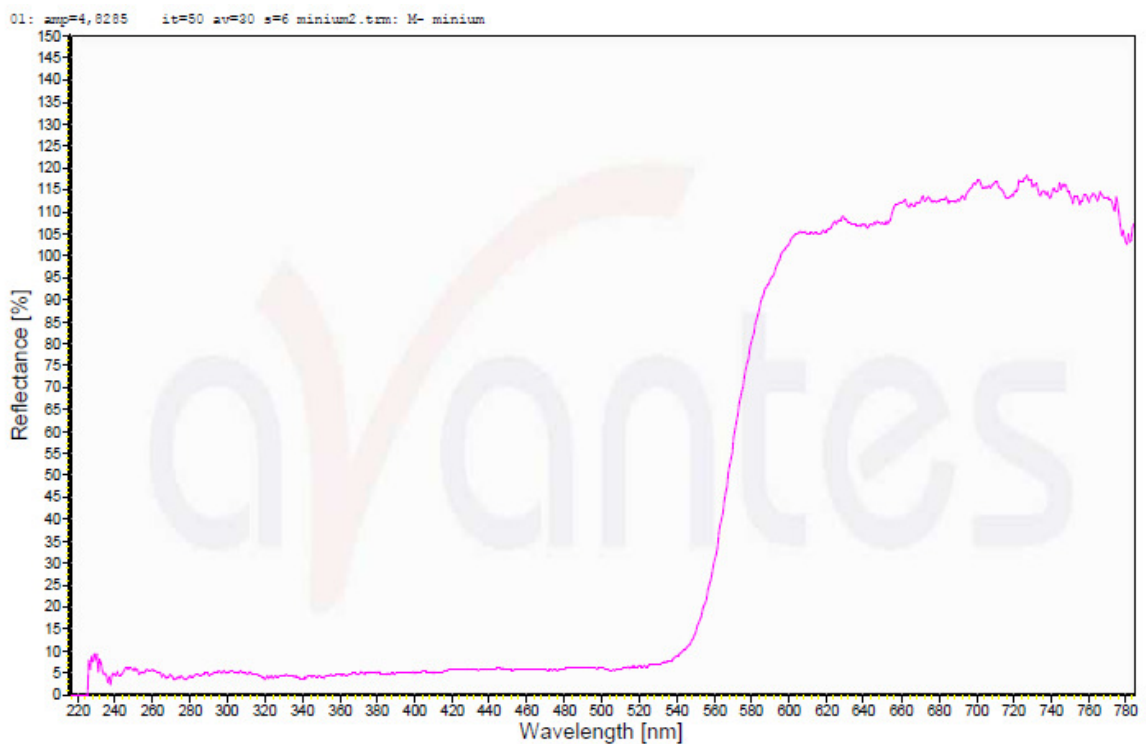


Obrázek 24 – UV/VIS spektrum červeného bolusu (inflexní bod při 600 nm)

minium

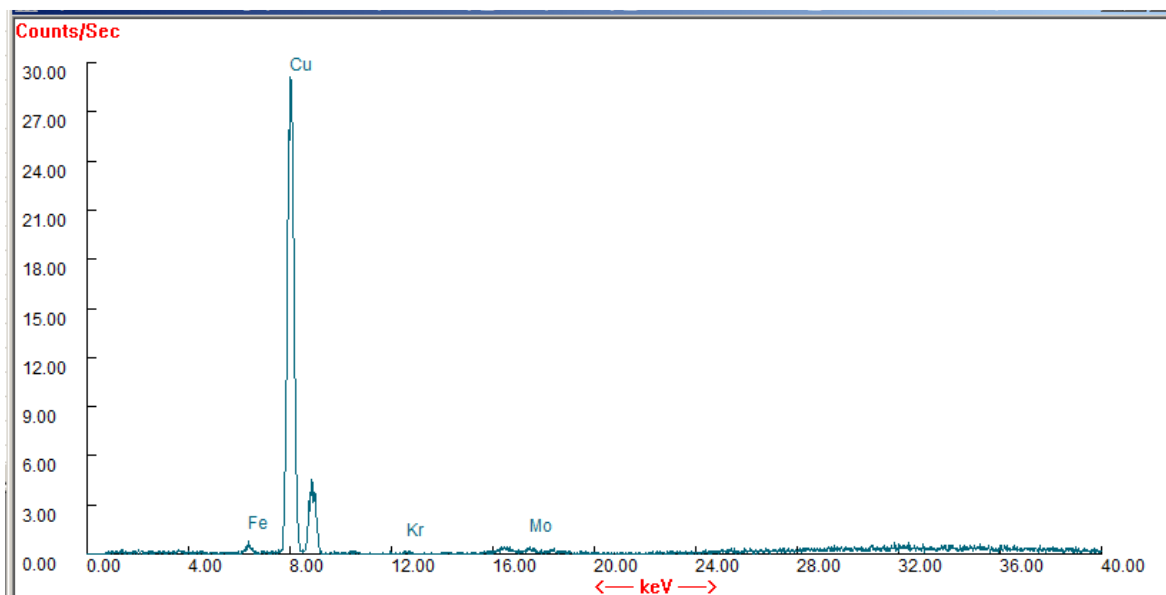


Obrázek 25 – XRF spektrum minia (jako majoritní prvek identifikováno Pb)

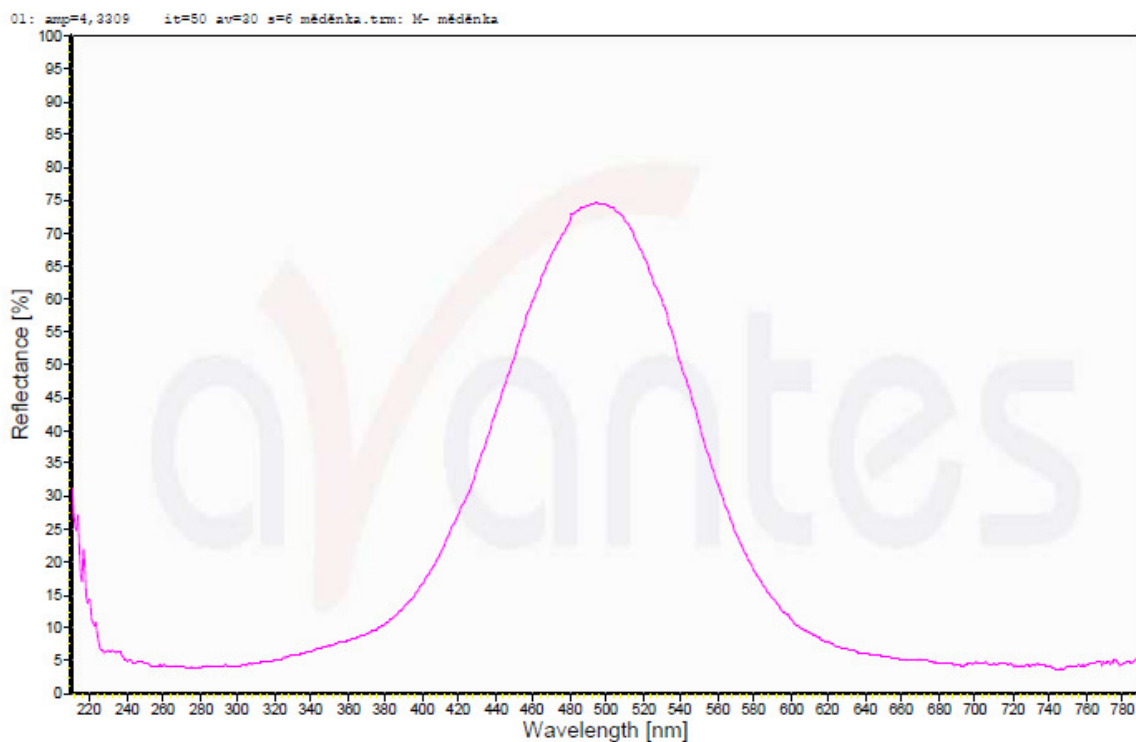


Obrázek 26 – UV/VIS spektrum minia (inflexní bod při 570 nm)

měděnka

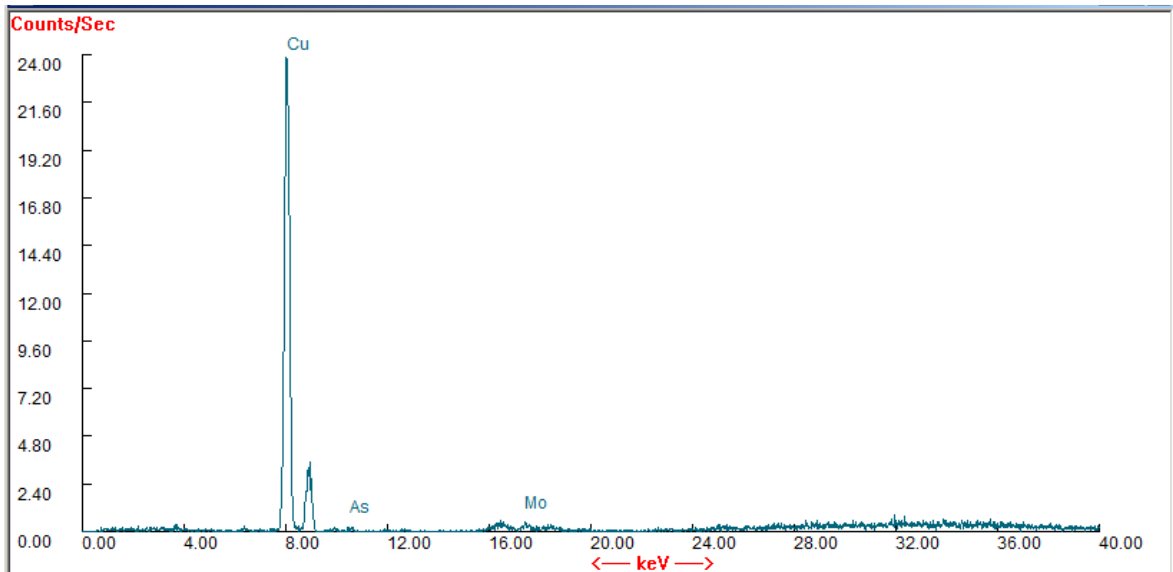


Obrázek 27 – XRF spektrum měděnky (jako majoritní prvek identifikována Cu)

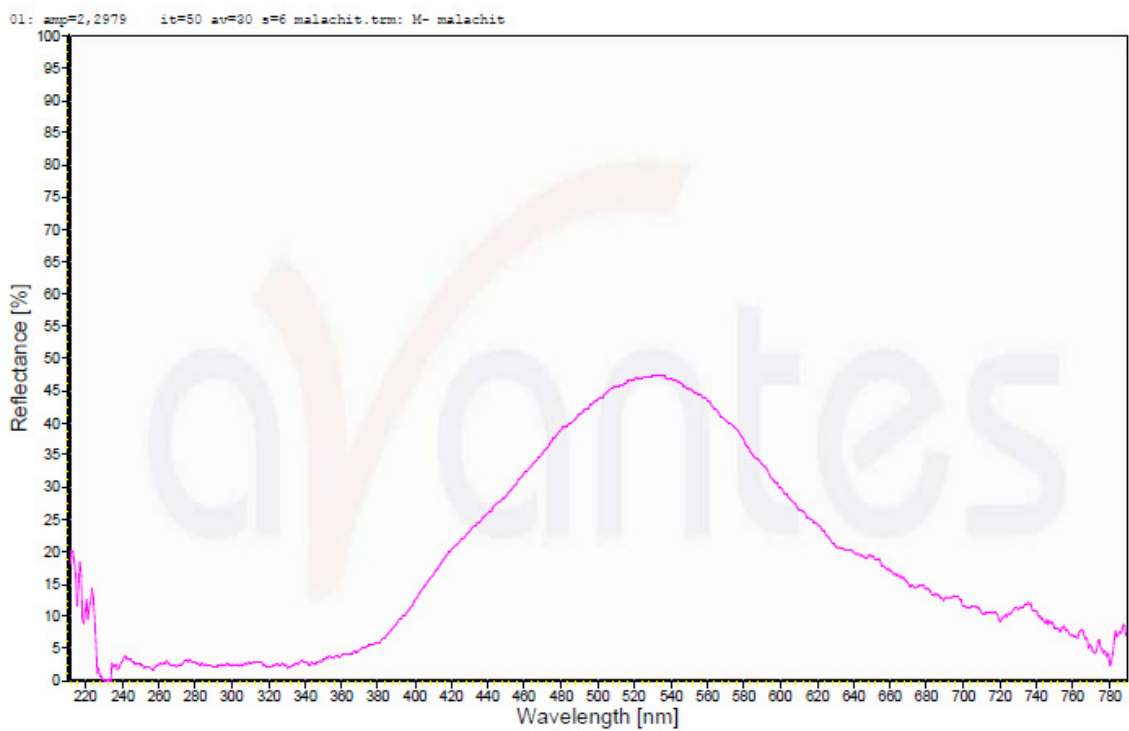


Obrázek 58 – UV/VIS spektrum měděnky (max při 495 nm)

malachit



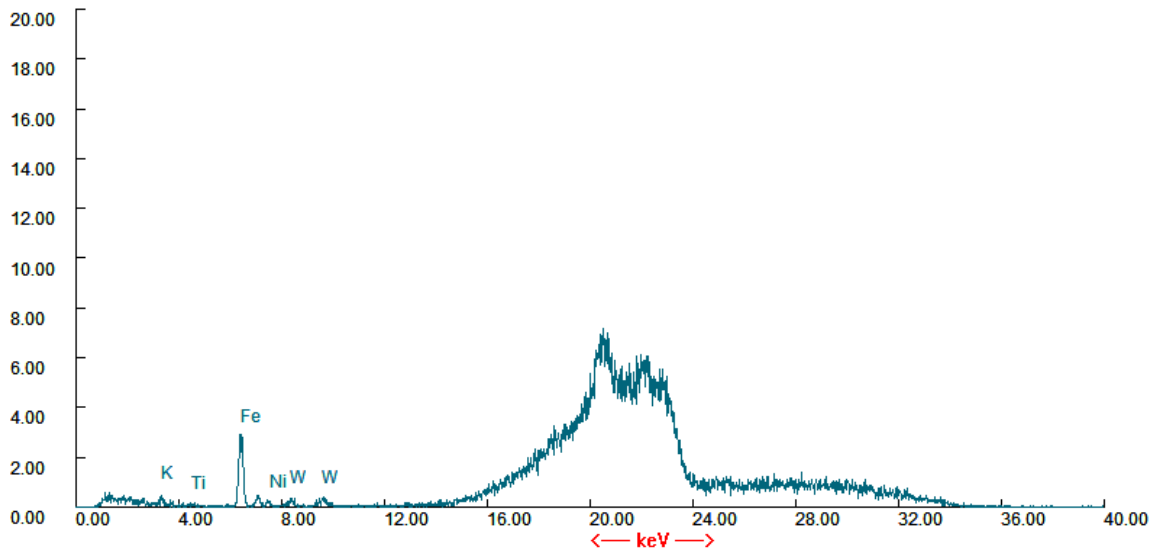
Obrázek 29 – XRF spektrum malachitu (jako majoritní prvek identifikována Cu)



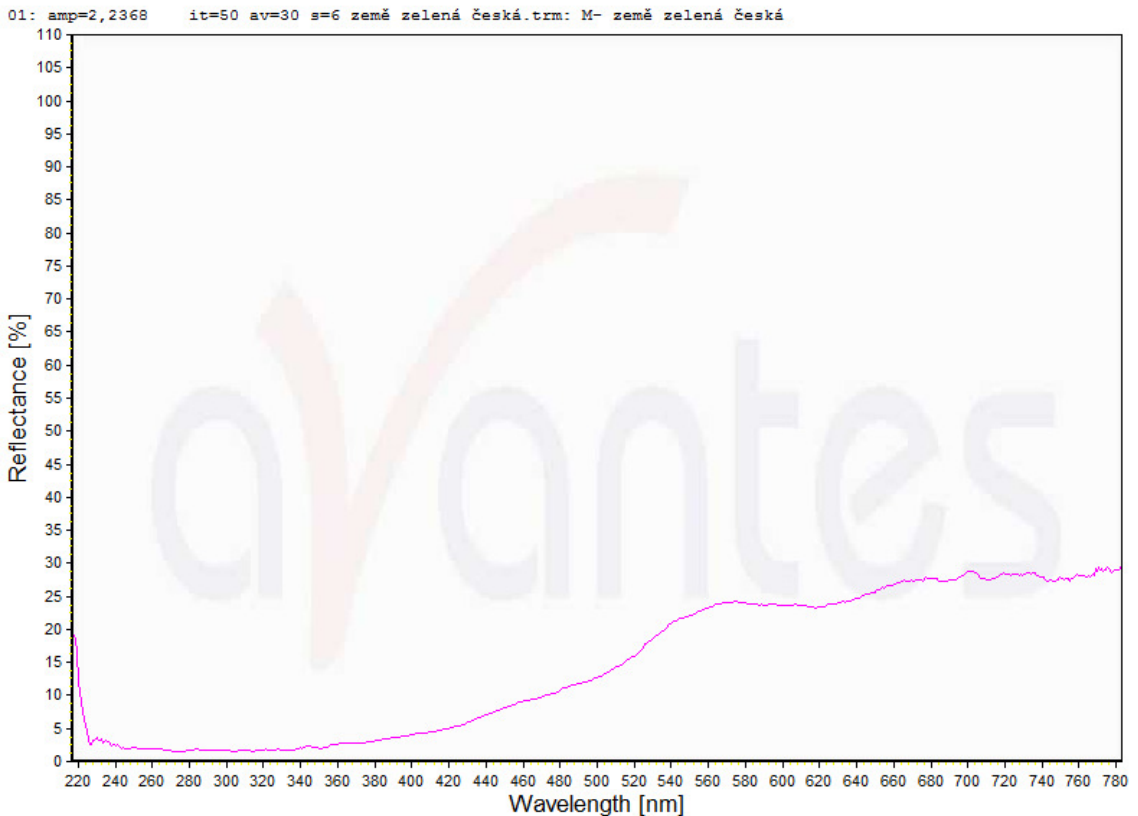
Obrázek 30 – UV/VIS spektrum malachitu (max při 530 nm)

země zelená

Counts/Sec

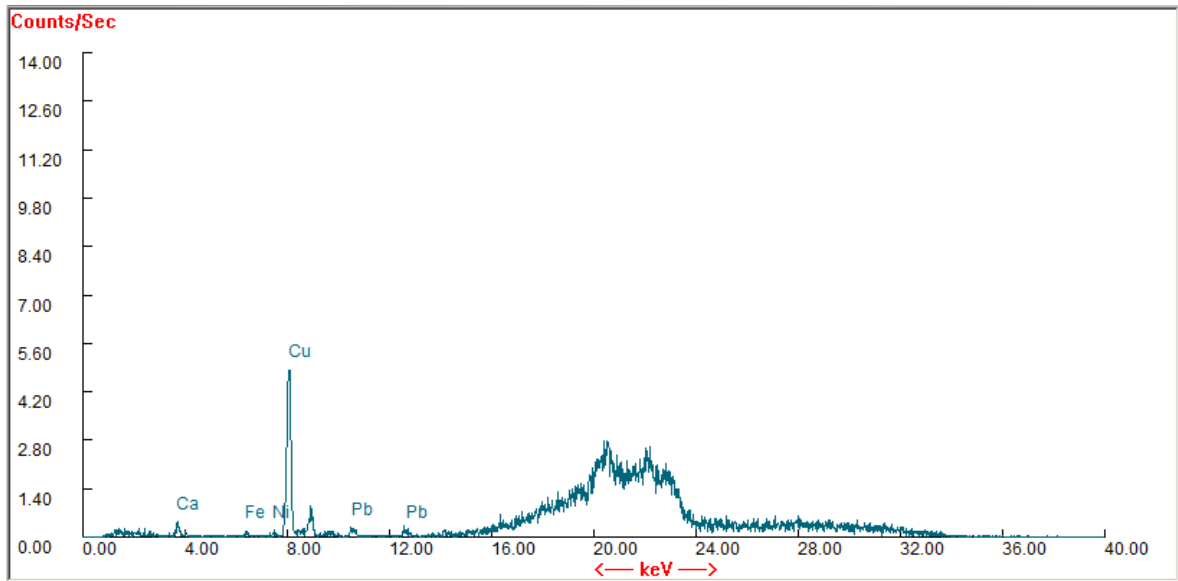


Obrázek 31 – XRF spektrum země zelené (identifikována pouze stopová množství prvků pod intenzitou rentgenky, identifikována přítomnost Fe)

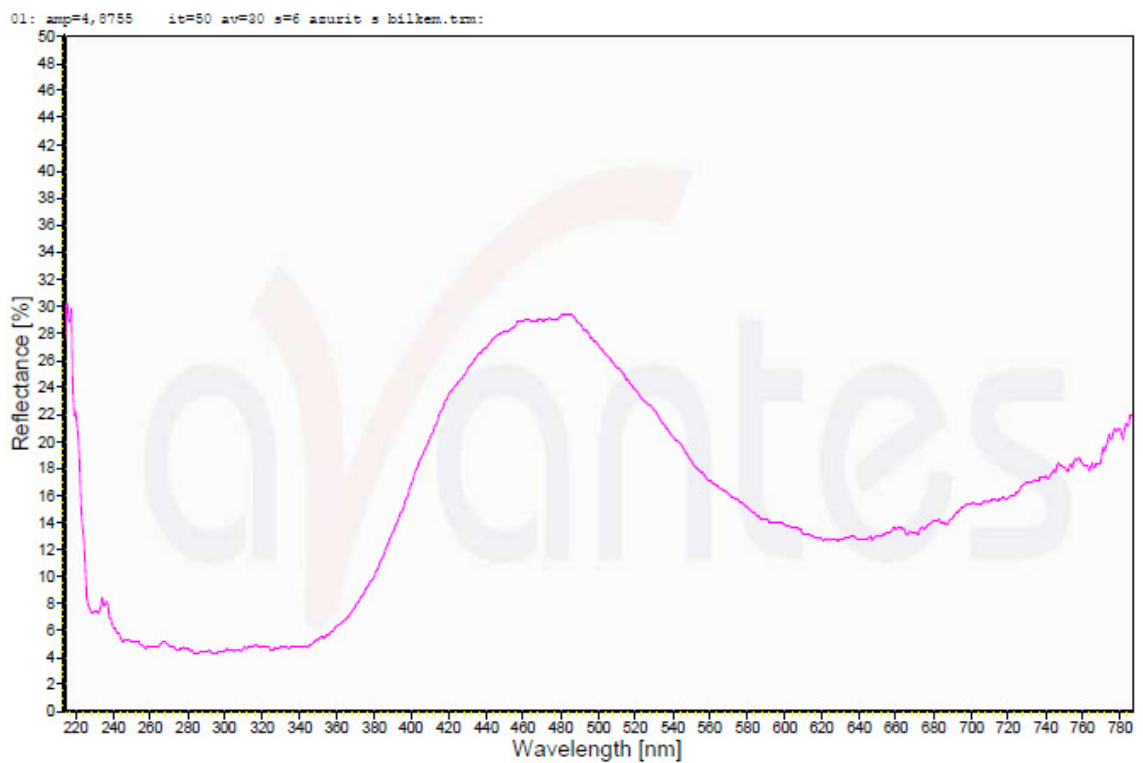


Obrázek 36 – UV-VIS spektrum země zelené

azurit



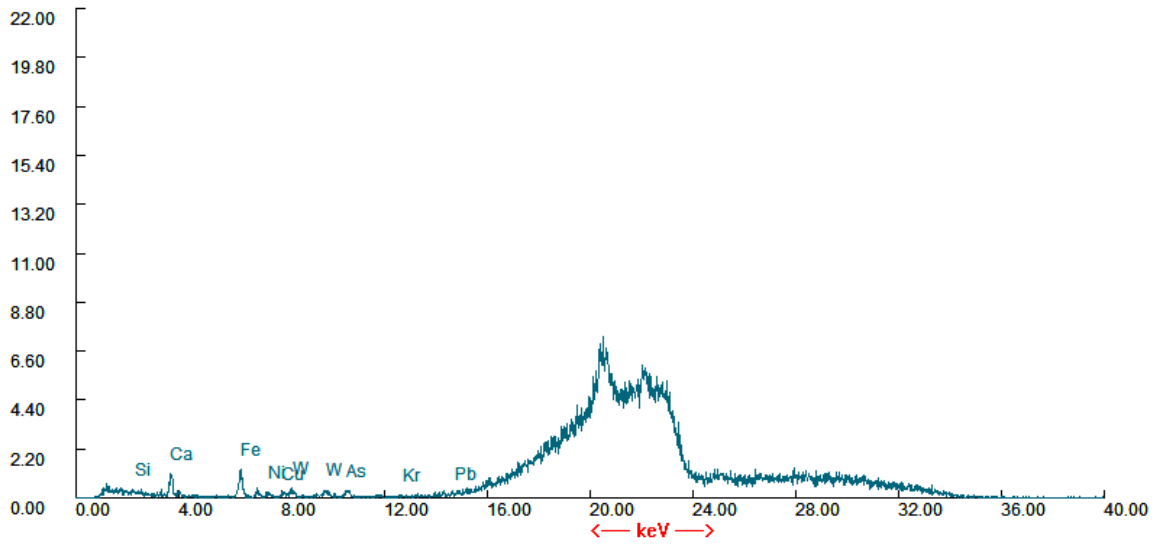
Obrázek 33 – XRF spektrum azuritu (jako majoritní prvek identifikována Cu)



Obrázek 34 – UV/VIS spektrum azuritu (max při 465 nm)

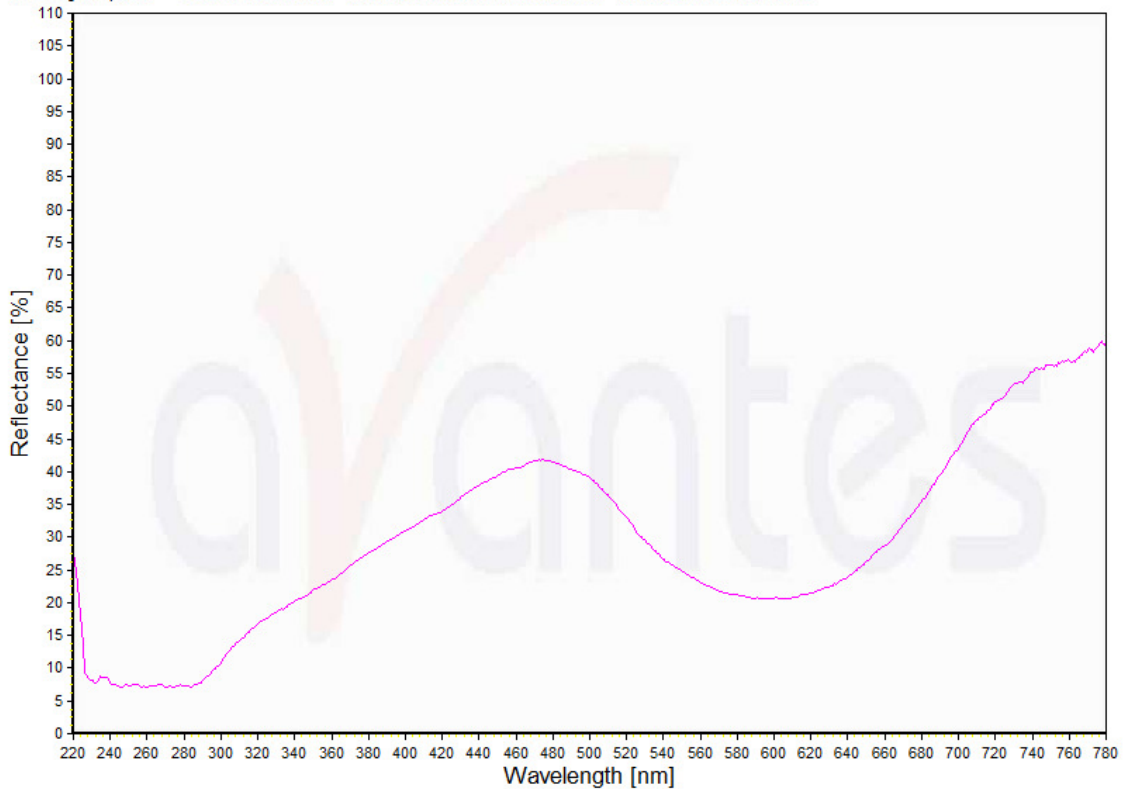
ultramarin

Counts/Sec



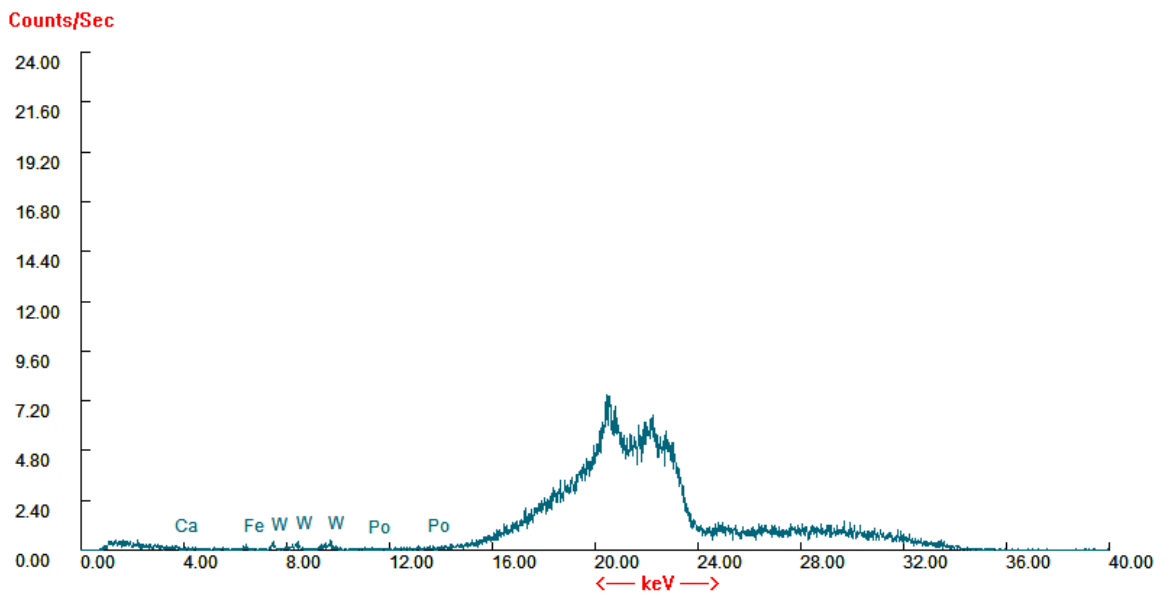
Obrázek 35 – XRF spektrum ultramarinu (identifikována pouze stopová množství prvků pod intenzitou rentgenky)

01: amp=21,048 it=50 av=30 s=6 ultramarin s bilkem.trm: M- ultramarin s bilkem

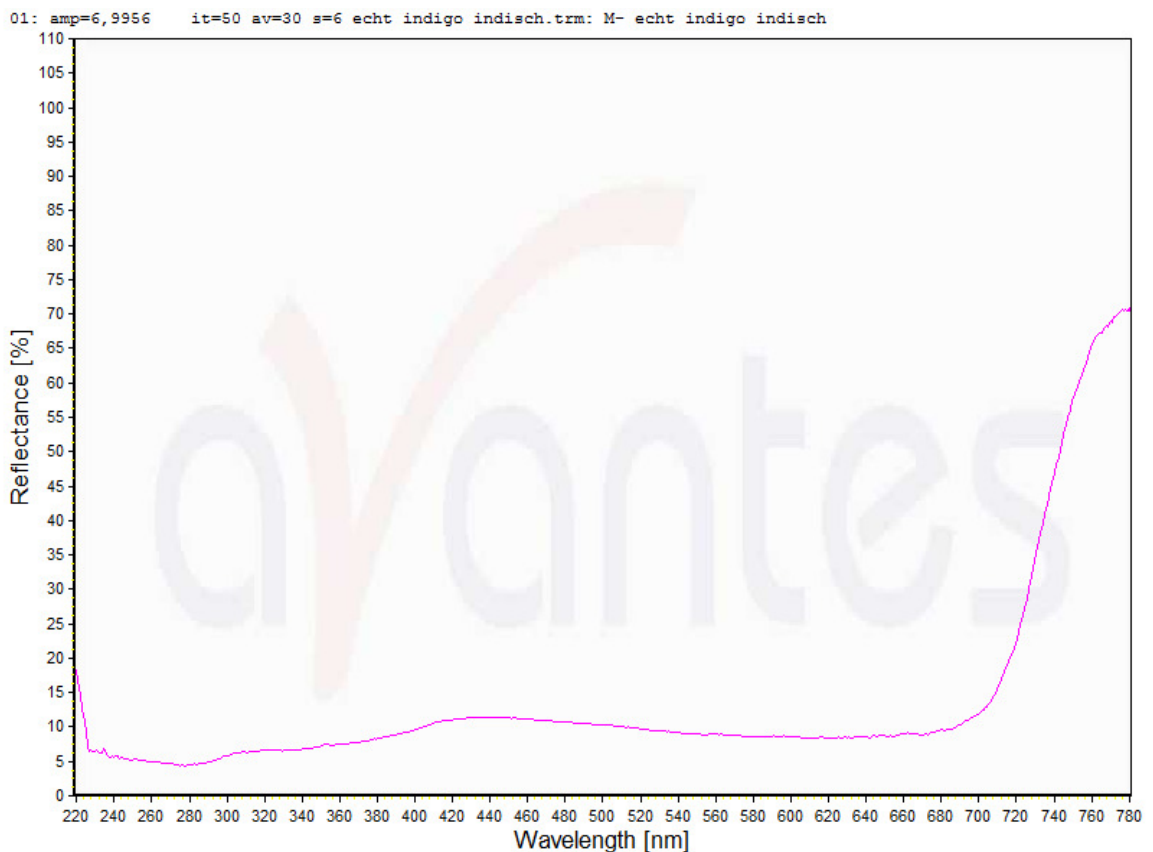


Obrázek 36 – UV-VIS spektrum ultramarinu (maximum1 při 470 nm, inflexní bod při 700 nm)

indigo

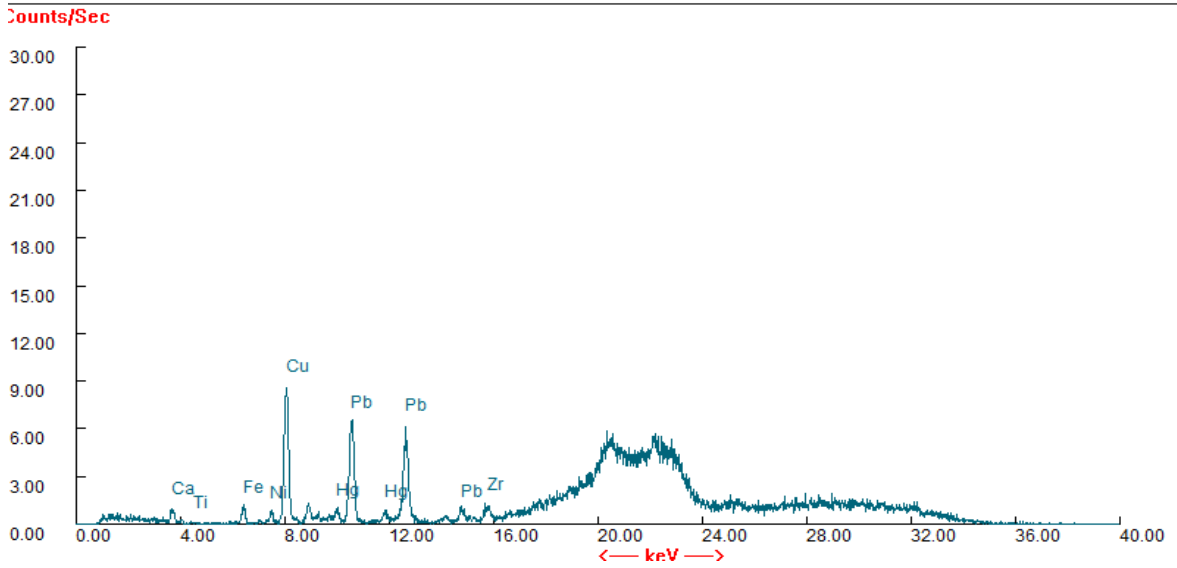


Obrázek 37 – XRF spektrum indiga (identifikována pouze stopová množství prvků pod intenzitou rentgenky)

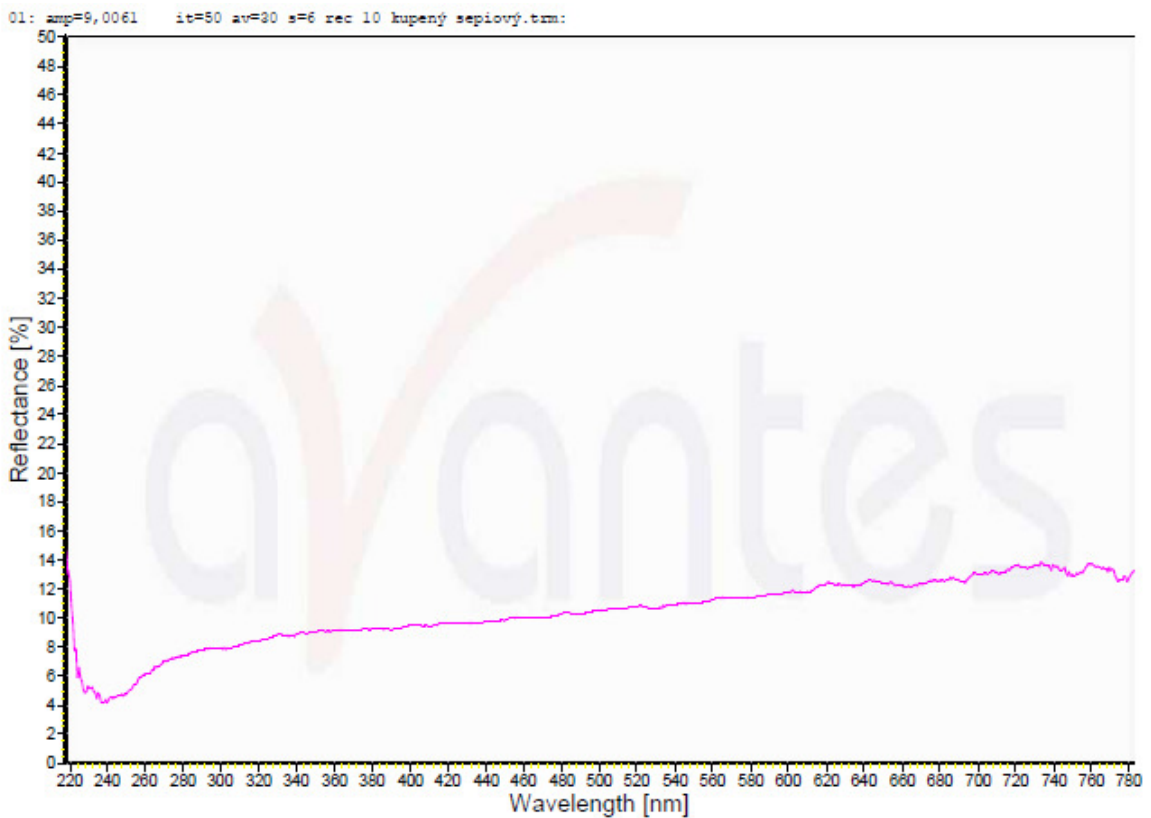


Obrázek 38 – UV-VIS indiga (maximum1 při 440 nm, inflexní bod při 740 nm)

sépie



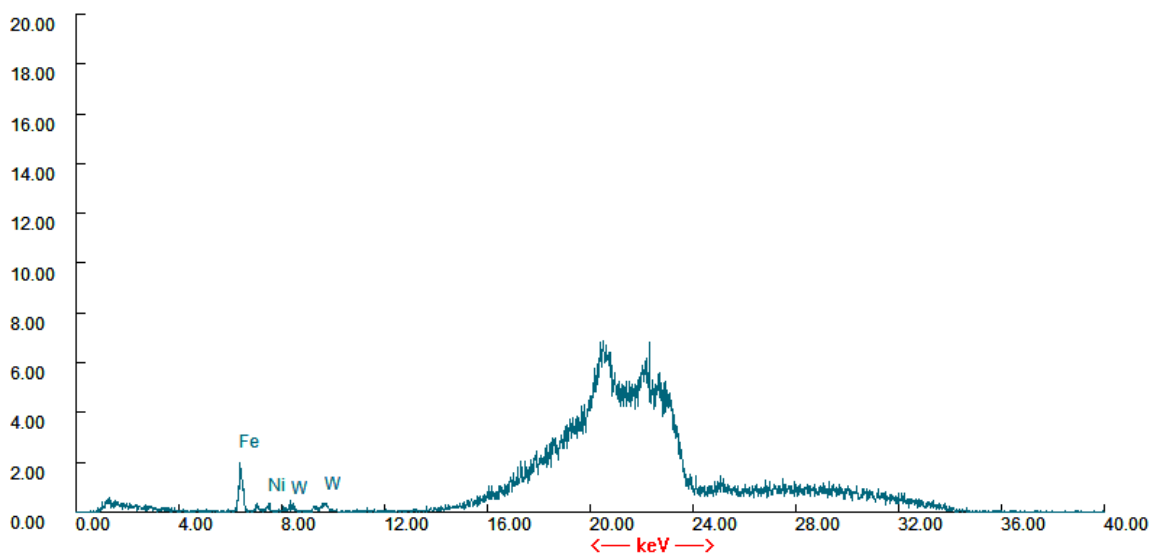
Obrázek 39 – XRF spektrum sépie (identifikována pouze stopová množství prvků pod intenzitou rentgenky, identifikována přítomnost Cu a Pb)



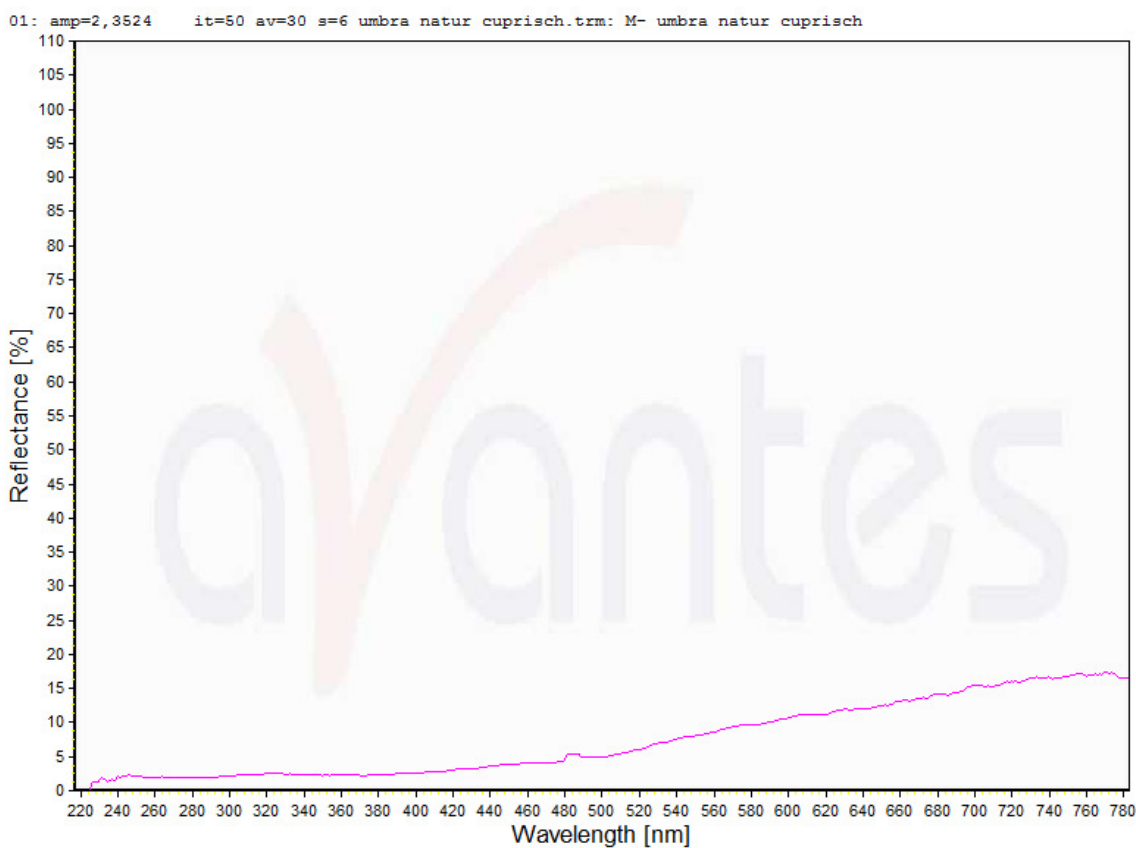
Obrázek 40 – UV/VIS spektrum sépie (inflexní bod při 255 nm)

umbra

Counts/Sec

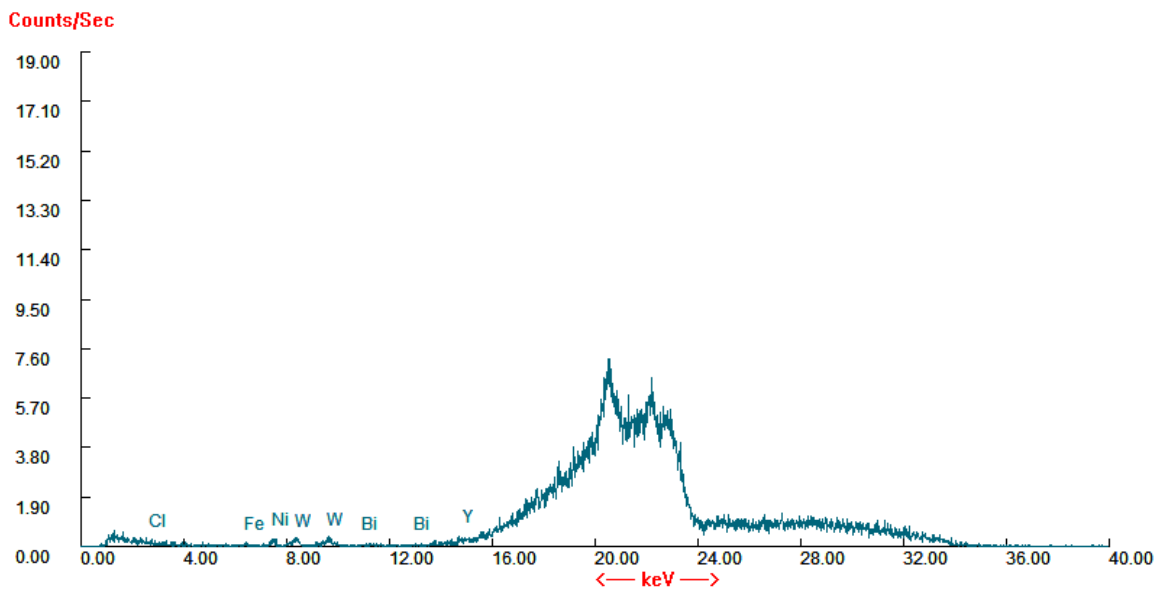


Obrázek 41 – XRF spektrum umbry (identifikována pouze stopová množství prvků pod intenzitou rentgenky, identifikována přítomnost Fe)

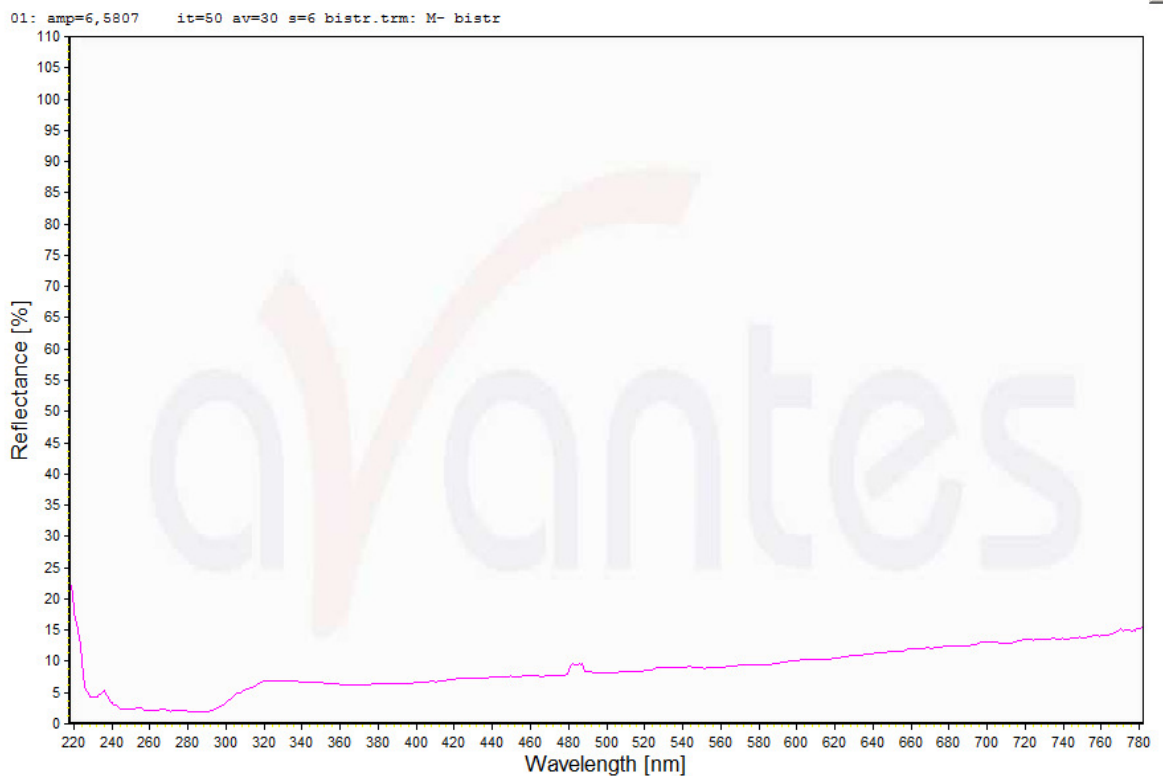


Obrázek 42 – UV-VIS spektrum ambry

bistr

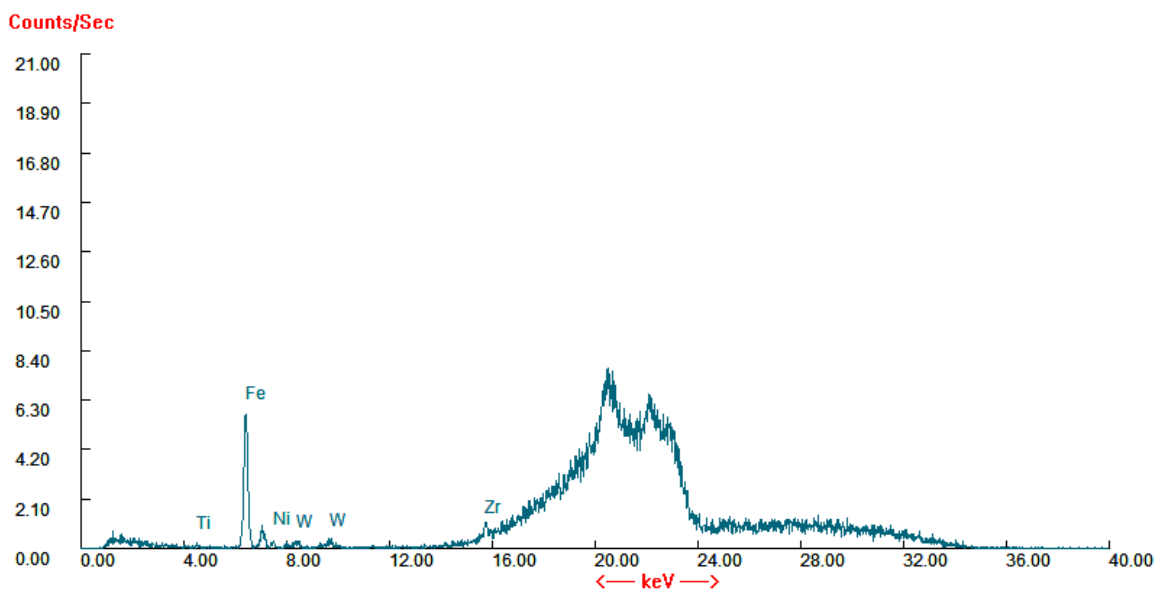


Obrázek 43 – XRF spektrum bistru (identifikována pouze stopová množství prvků pod intenzitou rentgenky)

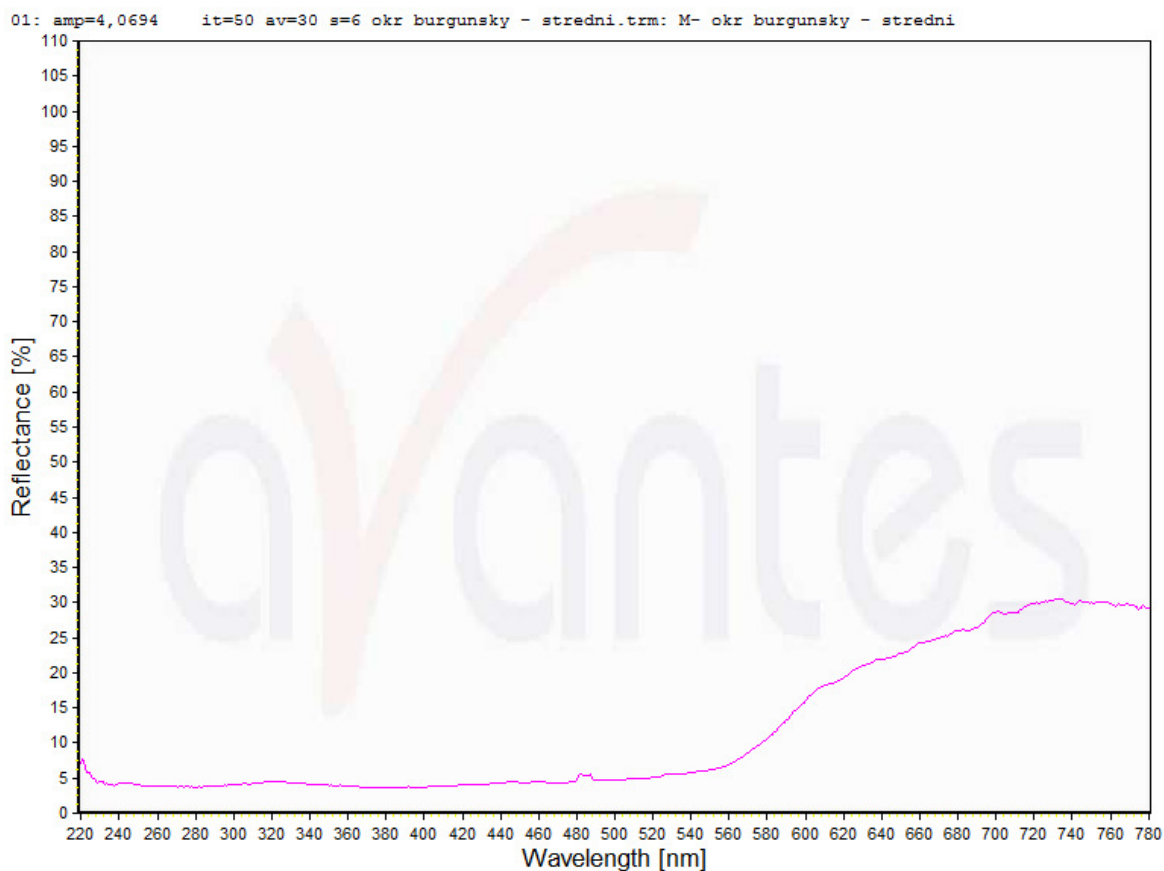


Obrázek 44 – UV-VIS spektrum bistru (inflexní bod při 310 nm)

hnědý okr

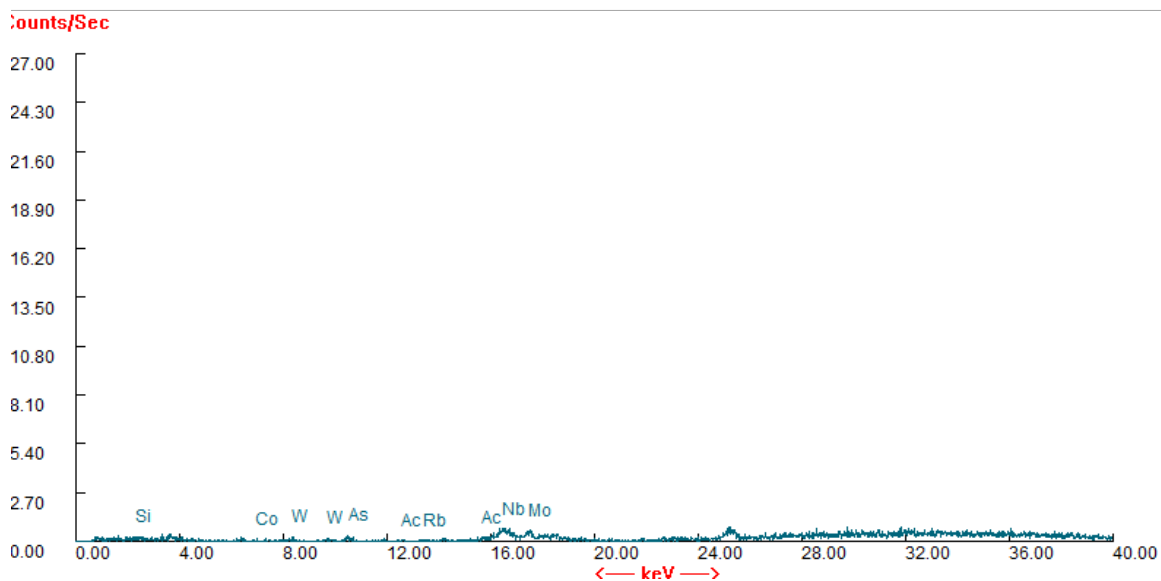


Obrázek 45 – XRF spektrum hnědého okru (identifikována pouze stopová množství prvků pod intenzitou rentgenky, identifikována přítomnost Fe)

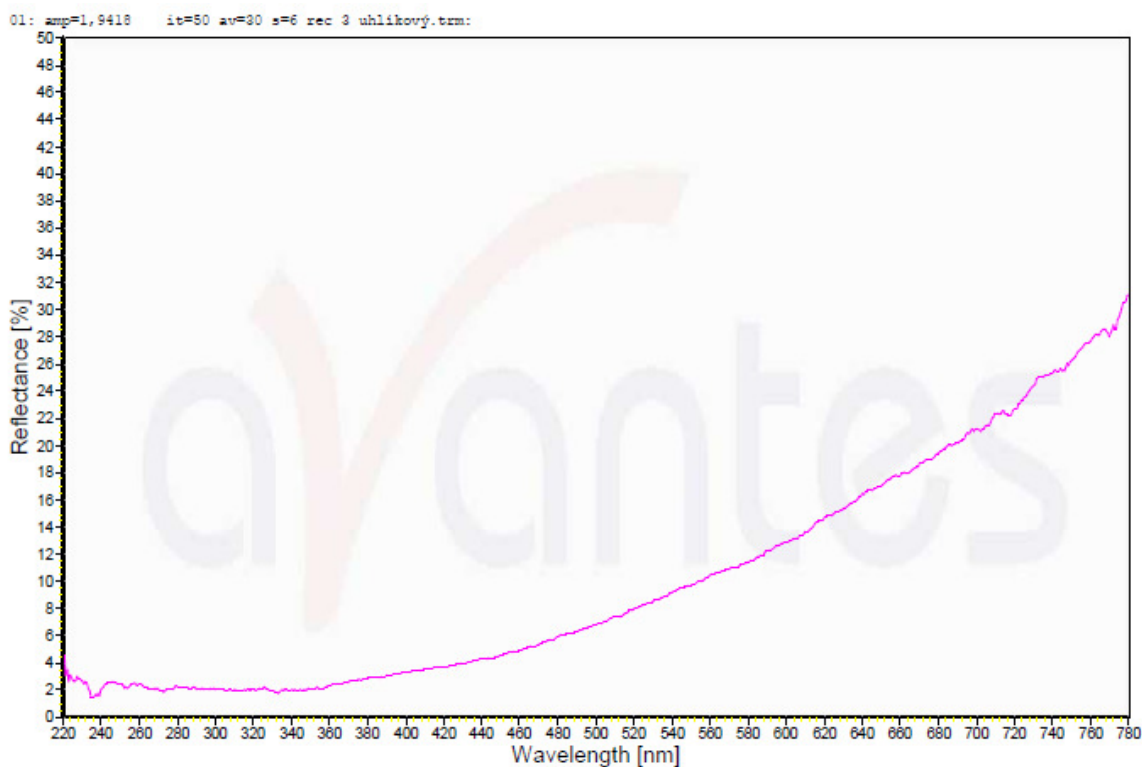


Obrázek 46 – UV-VIS spektrum hnědého okru (inflexní bod při 660 nm)

lampová černě

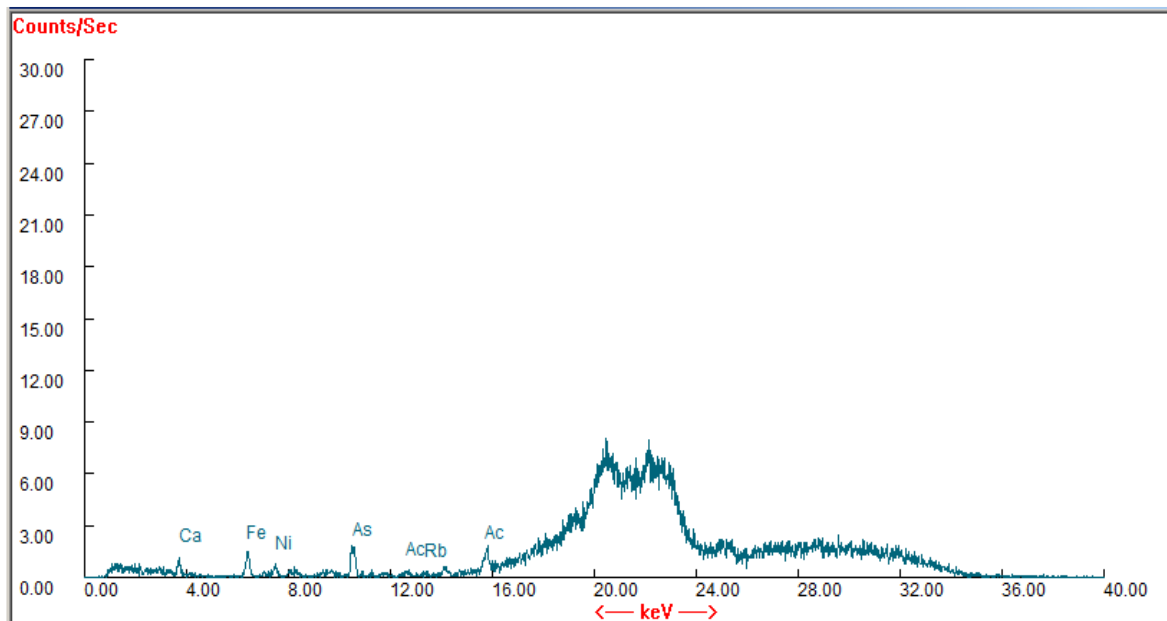


Obrázek 47 – XRF spektrum lampové černě (identifikována pouze stopová množství prvků pod intenzitou rentgenky)

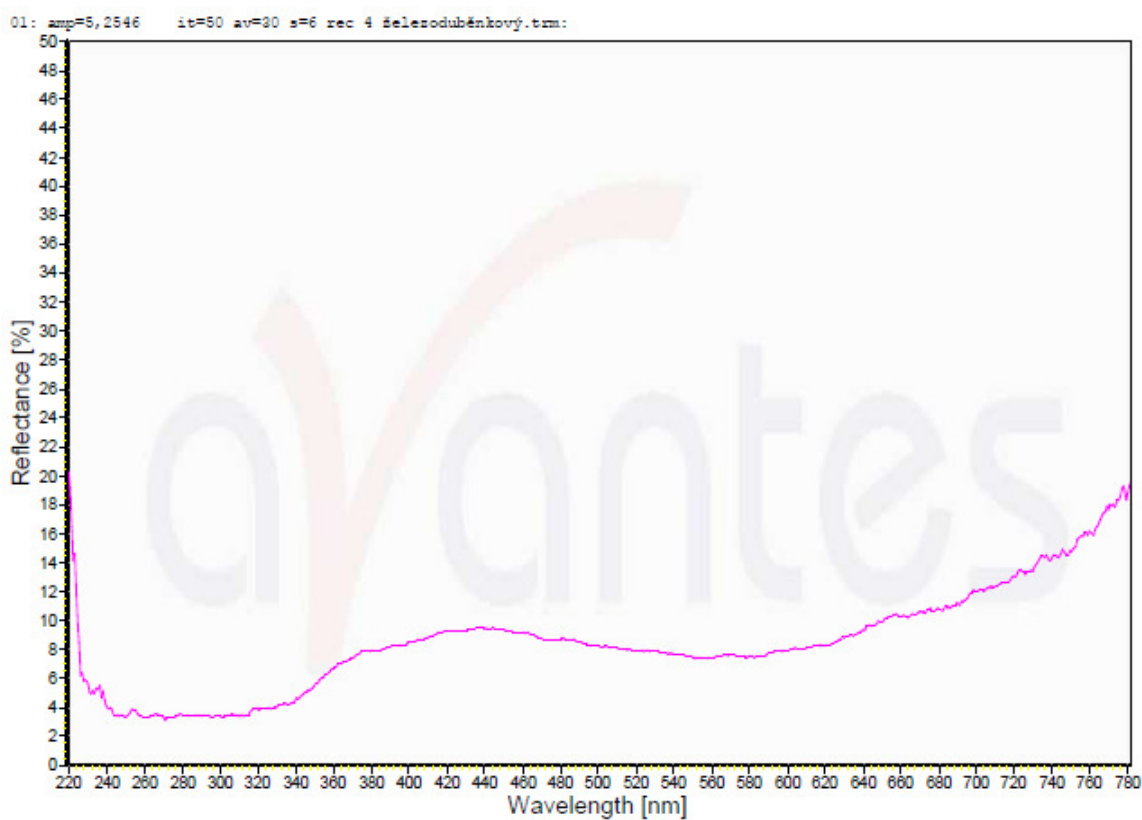


Obrázek 48 – UV/VIS spektrum lampové černě

železagalový inkoust



Obrázek 49 – XRF spektrum železagalového inkoustu (identifikována pouze stopová množství prvků pod intenzitou rentgenky, identifikována přítomnost Fe)



Obrázek 50 – UV-VIS spektrum železagalového inkoustu (max1 při 425 nm)